

DRUŠTVO METEOROLOGOV SLOVENIJE
SLOVENIAN METEOROLOGICAL SOCIETY

RAZPRAVE
PAPERS

IV

VSEBINA — CONTENTS:

- A. Hočevat: Lokalni vremenski tipi v Sloveniji pozimi
Local weather types in Slovenia in winter
- F. Bernot: Prispevek k poznavanju klime Kankana
Contribution to the knowledge of the climate of Kankan
- Z. Petkovšek: Padavine ob hladnih frontah v Sloveniji
Cold-front precipitations in Slovenia

LJUBLJANA 1964

LOKALNI VREMENSKI TIPI V SLOVENIJI POZIMI

LOCAL WEATHER TYPES IN SLOVENIA IN WINTER

Andrej Hočvar

551.506.2

551.509.318

Summary:

In the present paper is shown the climate of various places in Slovenia by the means of weather types. The weather classification in use, proposed by M. Čadež /1, 2, 3,/ takes into account weather elements as follows: the amount and motion of clouds, precipitation, winds and storms. The exact definitions are given in paper /2/. Let us repeat briefly the used symbols.

- A anticyclonic type - mostly clear, quiet weather,
- 1^A the same with fog in the morning,
- 2^A fog all over the day,
- AD anticyclonic advective type - mostly clear weather with steady winds in the clouds and also near the ground from direction D,
- D advective type - cloudy weather winds from direction D,
- C cyclonic type - cloudy quiet weather with precipitation of 1 mm or more than 1 mm per day (24 hours),
- DC advective cyclonic type - cloudy weather with precipitation of 1 mm or more than 1 mm per day and movement of clouds from direction D,
- AC anticyclonal cyclonic type - cloudy and quiet weather.

The frequency of various types in percentage is given on the pictures 1, 2, 3, 4, 5 and 6, for months and places separately. To get the general picture let us gather all north directions /from NW till E inclusively/ and all south directions /from ESE till W inclusively/ together. The linear extension on the pictures means the percentage of frequency by the rate; 1 centimeter is equal to 10 % of

frequency. M - mode ; the most frequent direction.

To see more clearly the rates between the frequency of various weather types on different places /4/ the crossections are constructed (figures 7, 8, 9). The crossections are taken on the line Koper - Murska Sobota, where most places considered are situated.

The crossection for December (fig. 7) is rather irregular. The picture is spoiled by the great frequency of C types in Ljubljana.

The crossections for January and February (figs. 1,2) are much better and some characteristics can be seen as: decrease of frequency of ²A types at Celje and "ovo mesto" and greater frequency of types with advective component. At Koper very great frequency of AN types is observed. The whole crossection of this type is also significant. At Murska Sobota, Maribor and Celje the frequency is rather great, diminished in Ljubljana and Novo mesto and very great at Koper again. This crossection has some similarities with the profile of "bora". This can be seen as advection of cold air in the east part of the country (Murska Sobota, Maribor), daming up in the middle part (Ljubljana and Novo mesto) and consequently cathabatic wind named bora near the seashore (Koper).

V Sloveniji se klime posameznih krajev močno razlikujejo med seboj. Vprašanje, kako se bodo te razlike pokazale pri klasificiranju vremena po izbrani klasifikaciji, se nam pri tem vsiljuje samo od sebe.

Klima je po definiciji povprečno vreme. Klasificirajmo torej vreme za vsak dan za vsak kraj in izdelajmo statistiko. Taka statistika nam bo potem dala klimo tistega kraja gledano skozi prizmo vremenskih tipov. Kako klasificirati vreme zadovoljivo, je seveda drugo vprašanje. /1 - 6/.

Pod pojmom vreme razumemo kompleksno sliko mnogih meteoroloških elementov. Različni ljudje pa pojmajo vreme različno. Za nekoga bo ta pojem vseboval kot glavno komponento padavine, za nekoga oblačnost ali število sončnih ur, za nekoga temperaturo, za nekoga veter in podobno. Katera komponenta je v tem pojmu najvažnejša je težko reči, saj je odvisna od potreb. Če vzamemo v konkretno definicijo vremena oziroma vremenskega tipa preveč elementov, je slika vremena nepregledna, če pa jih vzamemo premalo, je preveč nepopolna. Za definicijo vremenskih tipov moramo zato izbrati neko srednjo pot. Izbrati moramo klasifikacijo, ki bo upoštevala dovolj elementov, da bo povedala nekaj o vremenu meteorologu pa tudi laiku in kljub temu ne bo preveč komplikirana. Eno takih klasifikacij je izdelal M. Čadež /2/.

Ta klasifikacija bazira na količini in gibaju oblačov, na padavinah, vetru in nevihtnih pojavih. Kot osnova služijo opazovanja na obrazcu "Razvoj vremena" /3/.

Točne definicije najdemo v delu /2/. Za hitrejšo predstavo pa bo koristno, da tudi tu razložimo na kratko nekaj najvažnejših simbolov.

- A anticiklonalni tip - pretežno jasno mirno vreme,
- ¹A isto z jutranjo meglo,
- ²A megla pri tleh cel dan,
- AD anticiklonalno advektivni tip - pretežno jasno vreme s stalnimi vetrovi v oblačih in pri tleh iz smeri D,
- D advektivni tip - pretežno oblačno vreme s stalnimi vetrovi v oblačih in pri tleh iz smeri D,
- C ciklonalni tip - oblačno mirno vreme s padavinami 1 mm ali več na dan (24 ur),
- DC advektivno ciklonalni tip - oblačno vreme s padavinami 1 mm ali več na dan in vетrom v oblačih ali pri tleh iz smeri D,
- AC anticiklonalno ciklonalni tip - pretežno oblačno mirno vreme.

Poleg teh tipov obstajajo po klasifikaciji še K konvektivni tipi in tipi s konvektivno komponento. Pri naši obdelavi je bilo le teh malo. V decembru se je pojavil C tip s K komponento z zanemarljivo pogostostjo v Kopru in prav tako v januarju v Mariboru. Z nekoliko večjo toda še vedno zanemarljivo pogostostjo se pojavljajo tipi s K komponento v februarju in to v kotlinah: Celju, Ljubljani in Novem mestu.

Tipizirajmo torej vreme po Čadeževi klasifikaciji za postaje: Murska Sobota, Maribor, Celje, Ljubljana, Novo mesto in Koper za leta 1955 do 1959 in poglejmo, kakšne rezultate nam bo prineslo to delo.

Opazovalni material, ki nam je na razpolago, ni popolen. Tako manjka januar in februar 1955 v Murski Soboti in december 1959 v Celju. Prav tako moramo ugotoviti, da so vizuelna opazovanja, ki so običajna pri opazovanju smeri gibanja oblakov, zelo nesolidna in nehomogena. Zato ne moremo vedeti, če bodo rezultati, ki jih bomo dobili, res realni. Vsekakor jih ne smemo jemati preveč resno, ker igra subjektivnost oziroma pridnost opazovalca veliko vlogo. Kljub temu upajmo, da bodo rezultati - čeprav popačeni - toliko izraziti, da bodo marsikaj povedali. Pri klasificiranju je delo težko prav zaradi pomanjkljivosti pri opazovanju gibanja oblakov.

K Čadeževi klasifikaciji dodajno še naslednje delovne pripomočke:

- Da premostimo težave, ki nastajajo zaradi malomarnega opazovanja gibanja oblakov, štejmo k advektivnim tipom in tipom z advektivno komponento tudi dneve, ko piha pri teh stalen veter stalne smeri, čeprav ni opazovano gibanje oblakov.
- Da ugotovimo značilnosti posameznih postaj glede strujanja vzemimo namesto štirih, dvanajst smeri.
- Če se je zvrstilo na dan dvoje tipov, potem zaokrožimo trajanje na polovico oziroma tretjino ali dve tretjini dneva. Če pa je bilo v enem dnevu troje tipov, potem pripada enemu tipu tretjina dneva. Zaradi tako nastalih polovico ali tretjino dneva trajajočih tipov, vzemimo skupni imenovalec 6. Tako traja en dan trajajoč tip 6/6 dneva, pol dneva trajajoč tip 3/6 dneva, tretjino dneva trajajoč tip 2/6 dneva in dve tretjini dneva trajajoč tip 4/6 dneva. Statistika izdelana po tej shemi bo še vedno vsebovala napake in netočnosti, ki so nastale pri klasifikaciji, bo pa izključevala poenostavitev in zaokroževanja pri nadaljnjem delu.

4. Pri izdelavi statistike vzemimo več smeri skupaj, da bo slika bolj pregledna.

Tako vzemimo k advektiji s severa (\bar{N}) vse smeri od WNW do vključno E in k advektiji z juga (\bar{S}) vse smeri od ESE do vključno W.

Tako izdelana statistika nam je dala naslednje rezultate: Ločeno po mesecih imamo v krogih in stolpičih izražene procente pogostnosti pojavljanja posameznih vremenskih tipov za posamezne kraje (slika 1 - 6). Linearna razsežnost pomeni pogostnost po ključu 1 centimeter je 10 %. Posamezni krogi in stolpiči pomenijo:

- Premer notranjega kroga v prvi vrsti: pogostnost $A + \bar{A}$ tipov.
- Povečanje kroga: pogostnost \bar{A} tipov.
- Stolpič na krogu: proti severu pogostnost $\bar{A}N$ tipov.
- Stolpič na krogu: proti jugu pogostnost $\bar{A}\bar{S}$ tipov.
- Premer kroga v drugi vrsti: pogostnost AC tipov. (Oblačni tip).
- Stolpič na krogu: proti severu pogostnost \bar{N} tipov.
- Stolpič na krogu: proti jugu pogostnost \bar{S} tipov.
- Premer kroga v tretji vrsti: pogostnost C tipov.
- Stolpič na krogu: proti severu pogostnost \bar{NC} tipov.
- Stolpič na krogu: proti jugu pogostnost \bar{SC} tipov.
- M - moda: smer z največjo pogostnostjo.

Primerjajmo sedaj pogostnosti posameznih tipov v istih krajih in različnih mesecih. Na vseh šestih postajah je vsota $A + \bar{A} + AN + AS$ največja v januarju. Vsota $C + \bar{NC} + SC$ pa je v januarju najmanjša. Od decembra do januarja se je zmanjšala pogostnost AC tipov (razen v Mariboru) in povečala pogostnost tipov z advektivno komponento, kar daje slutiti povečano dinamiko atmosfere v januarju, ki se nadaljuje tudi v februarju. Izjema je Koper, kjer je pogostnost tipov, ki vsebuje advektivno komponento celo padla za 0,6 %, kar pa pri natančnosti, s katero delamo, ne kaže kakšne posebnosti (tabela 1).

Tabela 1

Pogostost advektivnih tipov in tipov z advektivno komponento po mesecih in krajih v procentih

Tabela 1

The frequency of advective types and types with advective component at different places in December, January and February in %

	Murska Sobota	Maribor	Celje	Ljubljana	Novo mesto	Koper
XII.	34,9	35,7	46,6	33,6	44,5	48,2
I.	44,7	41,5	48,4	36,9	49,0	47,6
II.	51,2	46,3	55,4	47,6	56,6	53,5

Zanimivo je primerjati pogostnost tipov A v posameznih krajih in mesecih. Tako lahko ugotovimo, da se pojavlja ta tip v vseh treh zimskih mesecih v Murski Soboti, Mariboru ter Kopru. V januarju ga ni v Celju, v februarju pa ga ni v Celju in Novem mestu. Potem takem je torej Celje kraj, kjer se ta tip pojavlja najredkeje. Primerjava med C tipi in DC tipi v decembru v različnih krajih nam da zanimive rezultate. Izstopa močno Ljubljana z 21,5 % pogostnostjo C tipov, dokim jih je v drugih krajih vsaj za polovico manj. DC tipov je v drugih krajih precej, vendar se smeri močno razlikujejo. Medtem, ko je v Murski Soboti procent SC tipov minimalen, je procent NC tipov kar desetkrat večji. Razmerje: pogostnost NC tipov proti SC tipom je že manjše v Mariboru. V Celju, Ljubljani, Novem mestu in Kopru je že več SC tipov. V Ljubljani v decembru sploh ni bilo NC tipov.

Tabela 2

Severni in južni ciklonalni tipi v decembru po krajih v %

Table 2

North and south cyclonal types at different places in December in %

	Murska Sobota	Maribor	Celje	Ljubljana	Novo mesto	Koper
	4,8	5,7	3,2	-	4,5	1,4 NC
	0,4	3,1	8,6	5,0	5,4	8,4 SC

Primerjava N in S tipov nam ne pove dosti, vendar je vredno omeniti, kako se spreminja razmerje pogostnosti severnih tipov proti južnim od kraja do kraja in iz meseca v mesec. To nam pove naslednja tabela.

Tabela 3

Koeficient razmerja tipov s severno advektivno komponento proti tipom z južno advektivno komponento po krajih in mesecih

Table 3

The rate between types with north advektive component against types with south advektive component at different places in December, January and February

	Murska Sobota	Maribor	Celje	Ljubljana	Novo mesto	Koper
XII.	0,87	1,02	0,50	0,42	0,62	1,11 (0,67)
I.	1,22	1,45	1,18	0,67	0,76	1,82 (1,18)
II.	1,45	1,74	1,13	0,44	0,91	1,20 (0,78)

Vrednosti v oklepajih pri Kopru so računane brez pogostosti tipov, klasificiranih za advektivne te na podlagi burje.

Edina zaznava tendenca, ki jo lahko opazimo je naraščanje koeficiente z decembra na januar. Ta tendenca se v krajih, ki leže najdalje v notranjosti, še zavleče v februar (primer: Murska Sobota in Maribor) v ostalih pa se zopet znatno zmanjša. Izjemo tvori Novo mesto, kjer koeficijent tudi še naraste. V tem je podobno krajem kot sta Murska Sobota in Maribor. Pripomniti moramo, da pri klasifikaciji Maribor in Novo mesto kažeta neke podobnosti pri severnih tipih. Ta koeficient govori mor da o večji kontinentaliteti teh krajev.

Omeniti je treba tudi najbolj pogostne smeri pri tipih, ki vsebujejo advektivno komponento. Te smeri so pri slikah označene z velikim M in kažejo zanimivo razporeditev, ki podaja v določenem smislu najbolj pogostno gibanje zraka nad Slovenijo v zimskih mesecih za severne in južne advektivne tipe posebej. Kot kažejo mode, se veter pri tleh močno odraža tudi pri smeri gibanja oblakov. Tako nam mode pokažejo že znano obračanje severnih vetrov v vzhodne pri južne ležečih krajih. V Murski Soboti vsebuje le del N tipov nekaj vzhodne komponente v februarju in nekaj NC tipov del vzhodne v januarju ter del NC in del SC v februarju. V Mariboru leže vse mode vedno v zahodnem kvadrantu. Pri tem je moda za severne tipe največkrat N oziroma NNW, za južne pa S oziroma SSW.

V Celju leže mode severne smeri vedno v E smeri z izjemo AD tipov v decembru, ko je moda na WNW. Mode južnih smeri pa leže med W in SSW.

Tudi pri Ljubljani leži moda severnih tipov največkrat na vzhodu, le pri čistih

advekcijskih severnih tipih leži na WNW smeri. Južni advekcijski tipi prihajajo v Ljubljano največkrat iz WSW smeri in nimajo nikdar vzhodne komponente.

V Novem mestu še bolj prevlada orientacija med WSW in ENE, oziroma SSW in NNE južnih in severnih tipov z advektivno komponento. Izjemo tvorijo anticiklonalni advektivni tipi v februarju, ko leži moda v zahodnem kvadrantu.

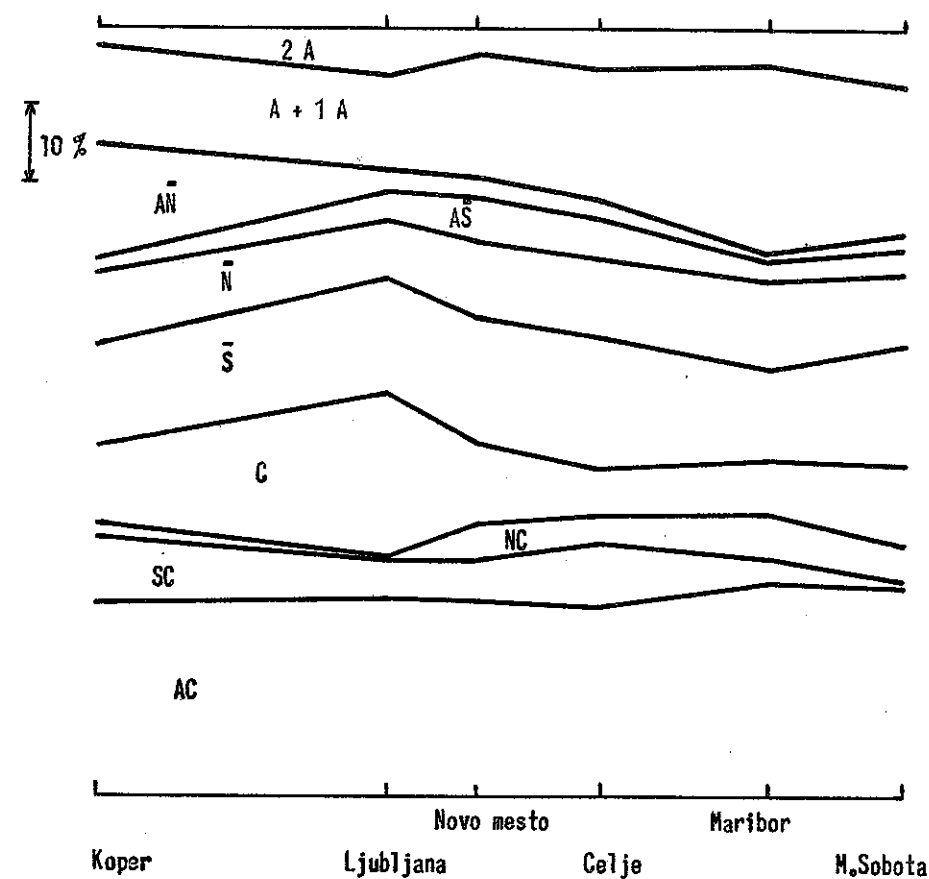
Pri Kopru leži moda tipov s severno advektivno komponento vedno na vzhodu oziroma ENE in moda tipov z južno advektivno komponento na jugu oziroma jugovzhodu.

Še jasnejša nam bo postala slika o razmerju posameznih tipov med seboj v času in od kraja do kraja, če si izdelamo presek (4). Kartografske slike pogostnosti posameznih tipov namreč ne moremo analizirati zaradi premajhnega števila podatkov. Podatke posameznih postaj v procentih nanesimo na premico v medsebojni horizontalni oddaljenosti v razmerju kot leže v naravi. Od premice, ki veže Koper z Mursko Soboto – dolga je ca 230 kilometrov je nekoliko bolj oddaljeno le Novo mesto – ca 37 kilometrov, zato si to poenostavitev lahko dovolimo.

Ohranimo podatke za vsak mesec posebej, saj bi dala slika povprečka slabšo preglednost in bi zbrisala razlike med meseci.

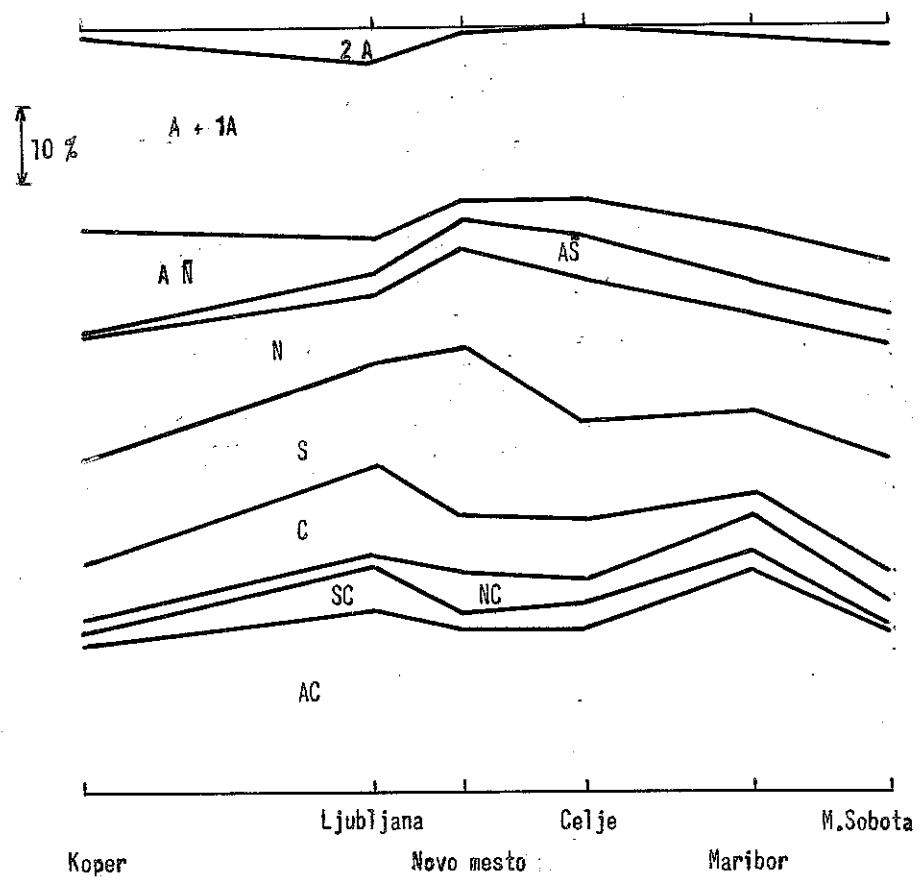
Vzemimo najprej december (slika 7). Ta kaže najbolj neurejeno sliko. Najbolj jo kvari seveda velika pogostnost ciklonalnih tipov v Ljubljani. Lepo je vidno naraščanje pogostnosti A in A^+ tipov od Kopra proti notranjosti. V Kopru izstopajo AN tipi, kar je posledica vključitve anticiklonalnih dni z burjo v ta tip. Zanimivo je tudi manjšanje pogostnosti SC in večanje pogostnosti NC tipov v smeri proti notranjosti. Značilna je tudi precej izenačena pogostnost AC tipov v vseh krajih. Morda je vredno omeniti povečano pogostnost AS tipov v Novem mestu in Celju v primerjavi z drugimi kraji. Premalo je dokazov, da je temu vzrok južni fen.

V primerjavi z decembrom je slika za januar lepša (slika 8). Črte teko bolj enakomerno in že lahko izluščimo nekaj značilnosti. V januarju je padec pogostnosti A^+ tipov v Celju in Novem mestu, zaradi česar pa ne zasledimo dvig pogostnosti anticiklonalno ciklonalnih tipov, kar bi moralo nastopiti v slučaju dvignjene megle, ko bi tip z dvignjeno megle šteli k AC tipu. Prav tako lahko zasledimo povečano dinamiko, saj je obale proti notranjosti močno narašla pogostnost tipov z advektivno komponento na škodo A^+ tipov in AC tipov. Kot v decembru



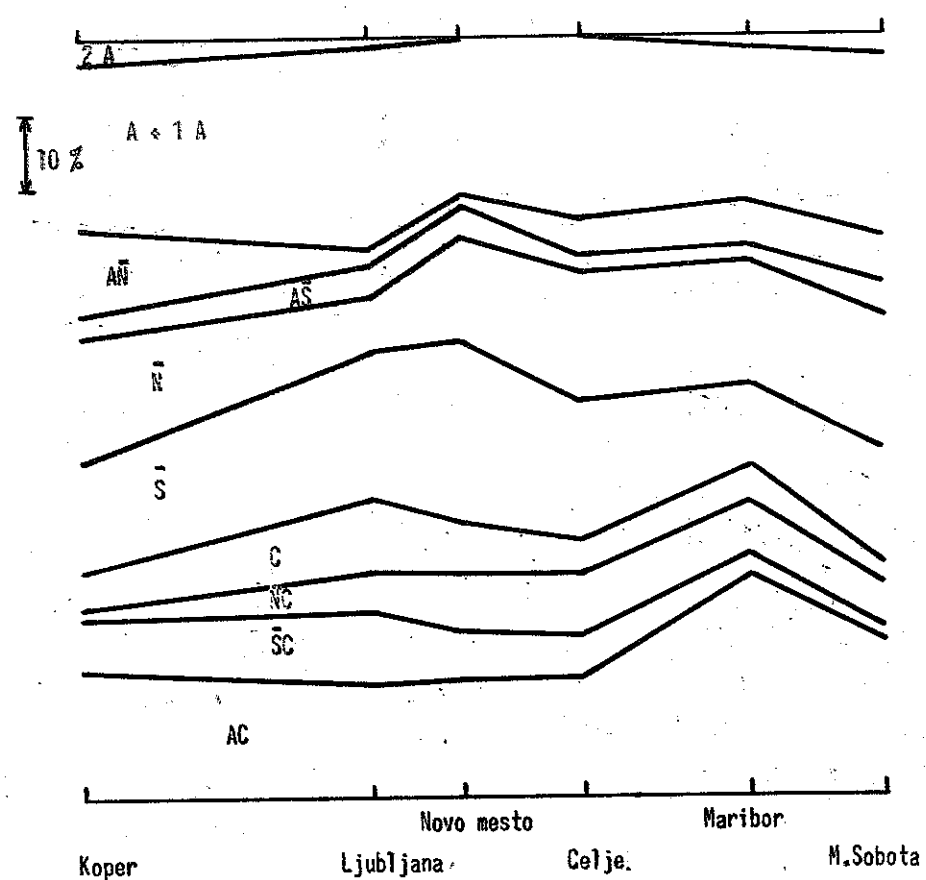
Slika 7 Pogostnost raznih vremenskih tipov na preseku Koper - Murska Sobota v decembru (1955 - 1959)

Fig. 7 The frequency of various weather types on crosssection Koper - Murska Sobota in December (1955 - 1959)



Slika 8 Pogostnost raznih vremenskih tipov na preseku Koper - Murska Sobota za januar (1955 - 1959)

Fig. 8 The frequency of various weather types on crossection Koper - Murska Sobota in January (1955 - 1959)



Slika 9 Pogostnost raznih vremenskih tipov na preseku Koper - Murska Sobota za februar (1955 - 1959)

Fig. 9 The frequency of various weather types on crossection Koper - Murska Sobota in February (1955 - 1959)

tudi v januarju v Kopru opazimo povečano pogostnost anticiklonalno severnih tipov na račun anticiklonalnih tipov z burjo, ki jih štejemo k omenjenemu tipu. Značilen je celoten profil tega tipa v januarju. V Murski Soboti in Mariboru ter Celju je pogostnost razmeroma velika, pade v Novem mestu in Ljubljani ter se zopet močno poveča v Kopru. Ta slika močno spominja na dotok hladnega zraka, zajezitev in s tem v zvezi nastalo burje. Struktura ciklonalnih in advektivno ciklonalnih tipov je podobna, vendar jasnejša in enakomernejša kot v decembru. Norda je vredno omeniti še maksimalno pogostnost AC tipov v Mariboru.

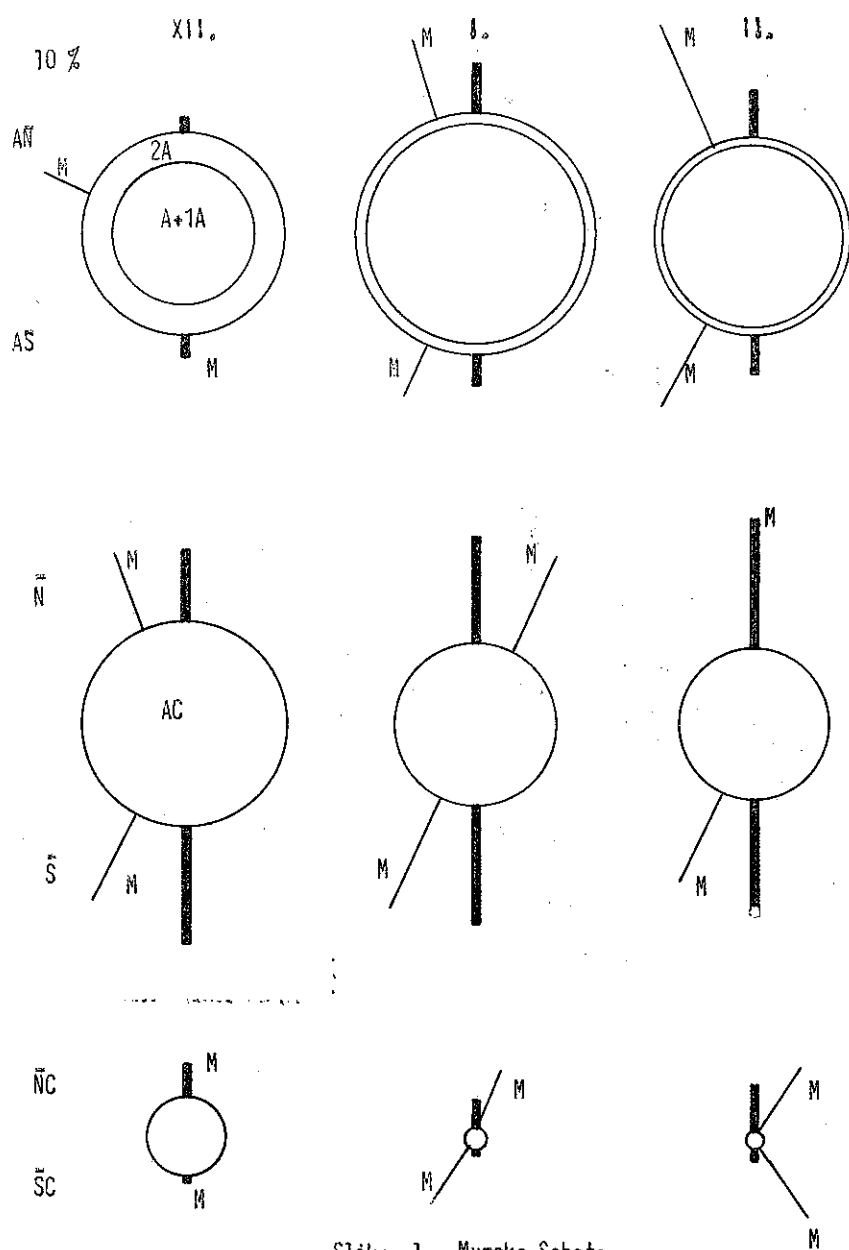
Struktura tipov v februarju (slika 9) je podobna oni v januarju. Tudi tu zasledimo pogostost $0\% - 2\%$ A v Novem mestu in Celju. Struktura anticiklonalno severnih ter ciklonalnih in advektivno ciklonalnih tipov pa je podobna januarski.

Poglejmo sedaj še glavne razlike presekov med posameznimi meseci. Najprej moramo omeniti razlike pri AC tipih, ko v decembru ni velikih razlik, dočim nastopa v januarju in februarju izrazit maksimum v Mariboru. Razlika nastopa prav tako pri 2% A tipih. V decembru je pogostost le teh še razmeroma enakomerna, v januarju in februarju pa nastopa v Celju in Novem mestu izrazit minimum. Medtem, ko kvari slika v decembru izredno velika pogostnost C tipov v Ljubljani, je struktura C in DC tipov v januarju in februarju mnogo bolj enakomerna in jasna. Tudi AN presek je v teh mesecih izrazit. Čisti D tipi (advektivni) ne kažejo posebnih značilnosti razen nekoliko spremenjenih razmerij v korist severa ali juga, ki smo jih že omenili.

Pregled gornjih rezultatov, ki smo jih dobili kljub kratkemu obdelovanemu obdobju, nam nakazuje, da je uporabljena klasifikacija za kompleksno obdelavo primerna.

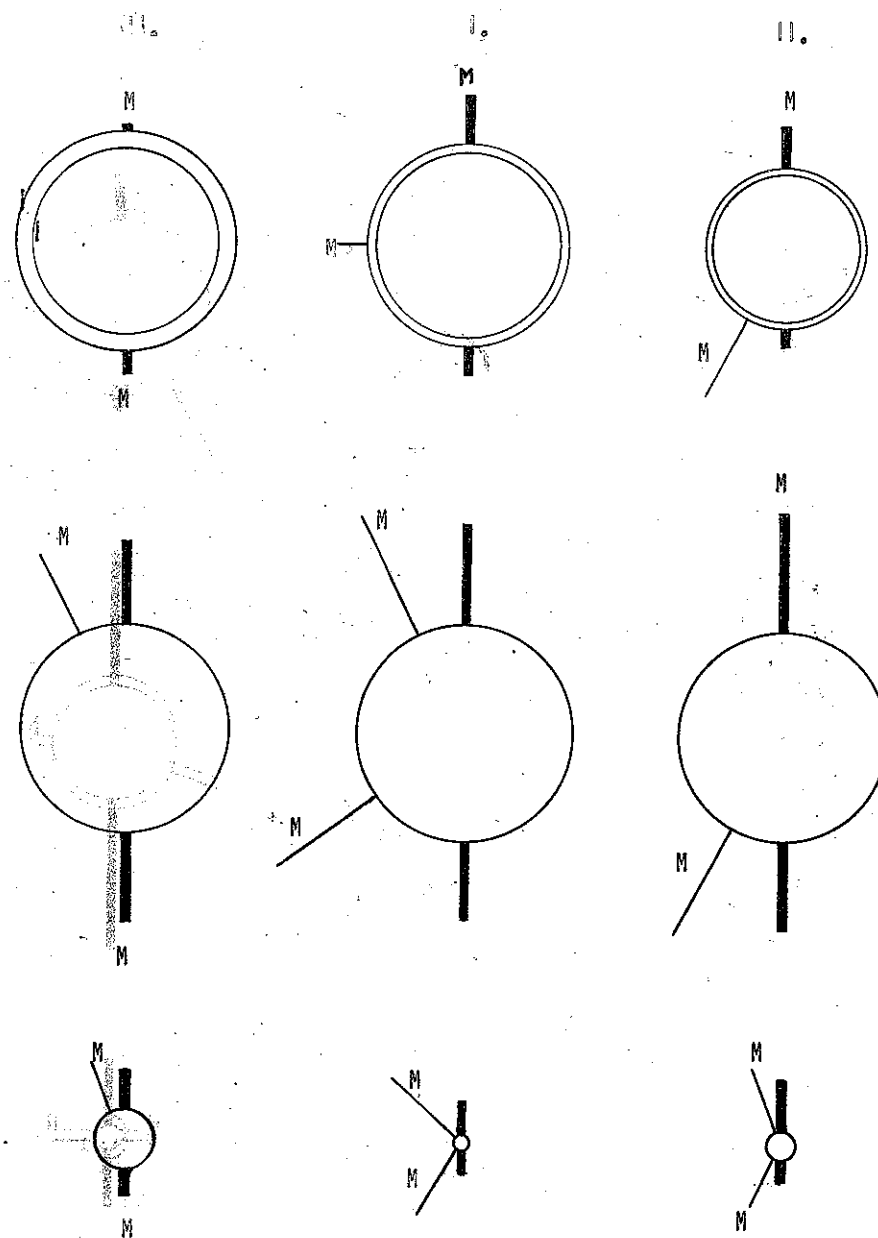
Literatura:

1. Godišnjak aerološke observatorije u Beogradu 1951
Beograd 1953
2. Godišnjak aerološke observatorije u Beogradu 1952
Beograd 1956
3. M. Čadež: Analiza vremena u FNR Jugoslaviji u 1951 godini
Beograd 1954
4. Ju.I. Ključnikov: Važnejšije čerti klimata Altaja v pogodah. Voprosi kompleksnoj klimatologiji.
Moskva 1963
5. E.E. Fedorov in L. A. Čubukov: Osnovi kompleksnoj klimatologiji, jejo razvitie i sovremeno sostojanje. Voprosi kompleksnoj klimatologiji.
Moskva 1963.
6. N.N. Galahov: Sravnitelni analiz strukturi klimata v pogodah po sezonom goda. Voprosi kompleksnoj klimatologiji.
Moskva 1963

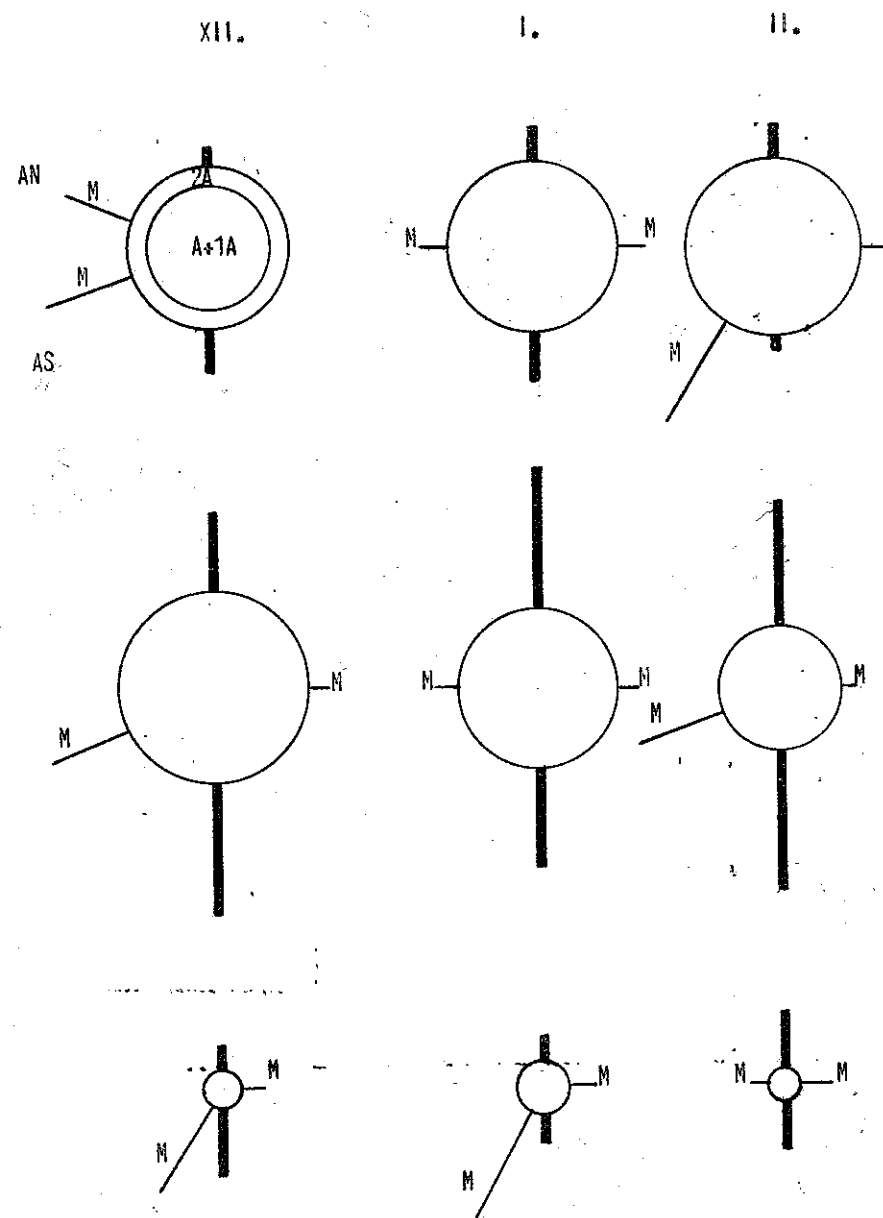


Slika 1 Murska Sobota

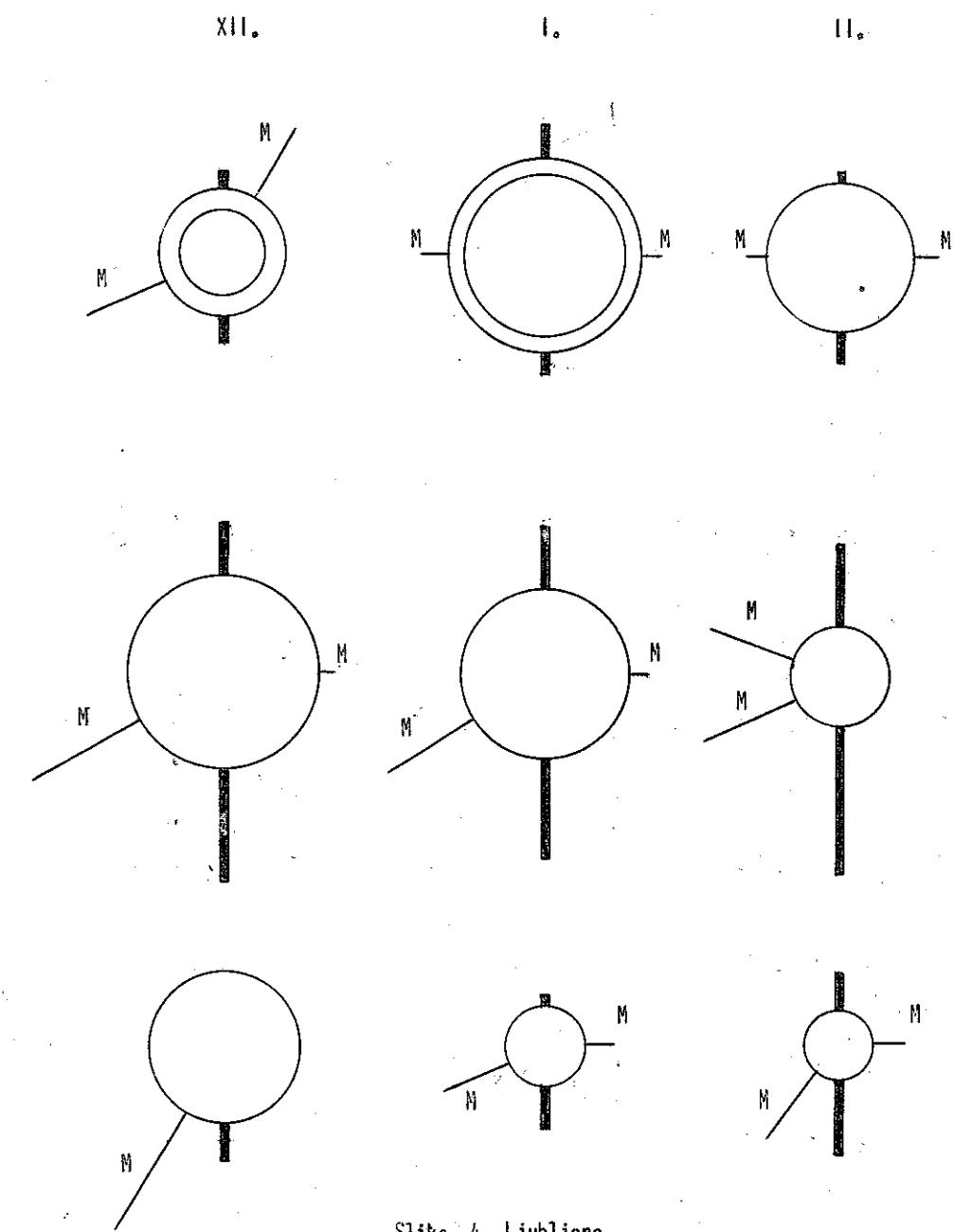
Slika 1 - 6 Pogostnost različnih vremenskih tipov v decembru, januarju in februarju v %. Srednja vrednost za obdobje 1955 - 1959



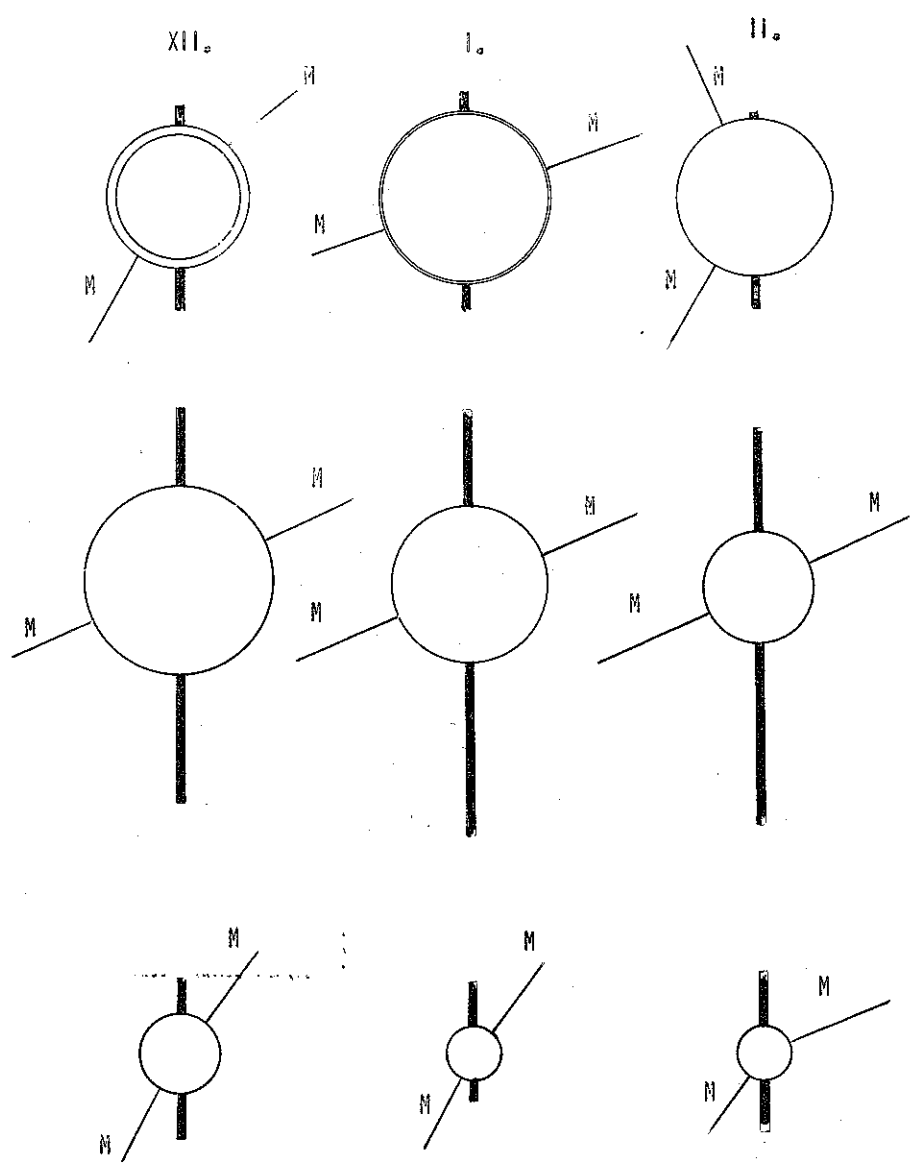
Slika. 2 Maribor
Fig. 1 - 6 The frequency of various weather types in December, January and February in %. The mean value for the period considered (1955-1959).



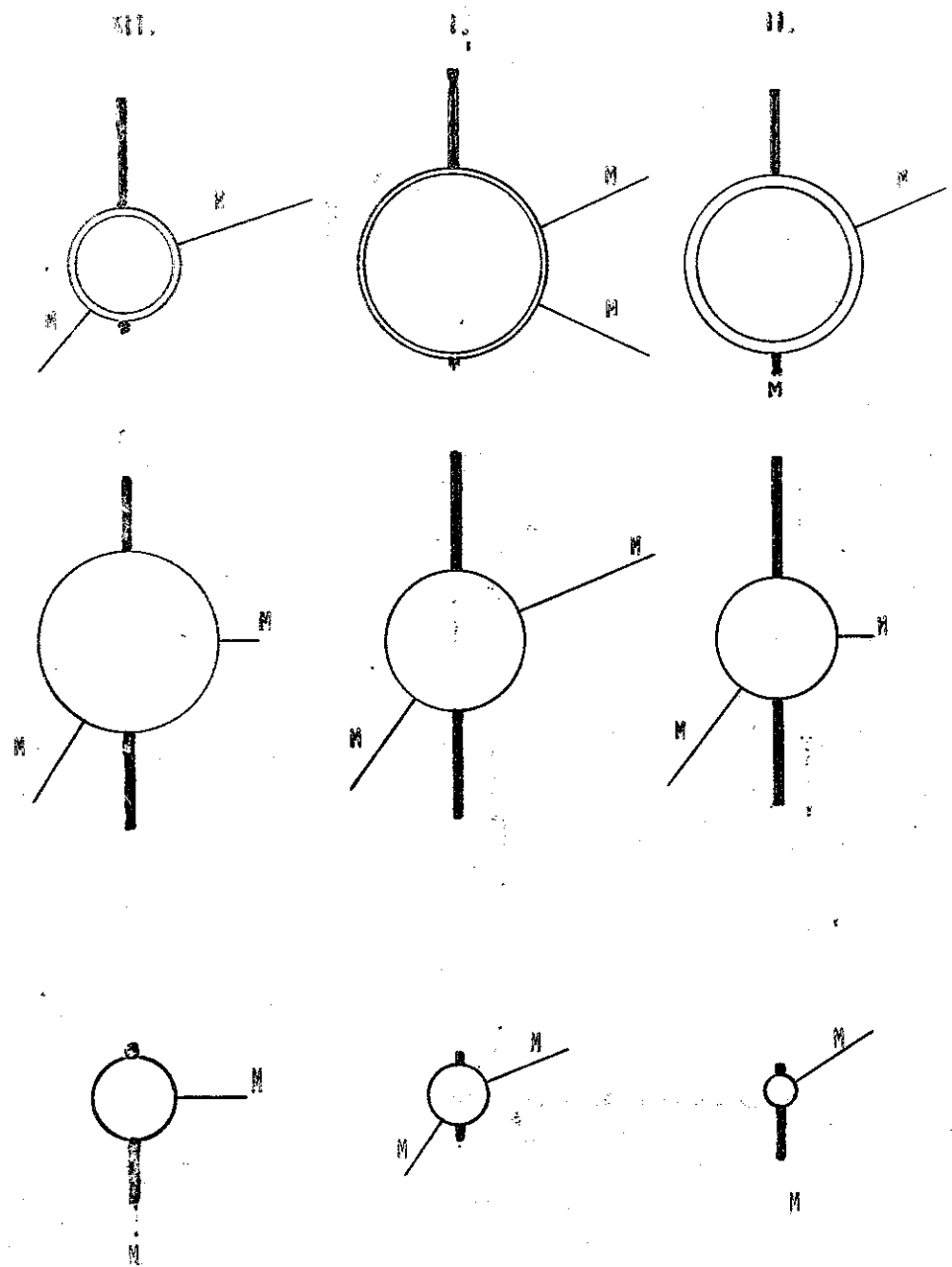
Slika 3 Celje



Stika 4 Ljubljana



Slika 5 Novo mesto



Slika 6 Kopar

PRISPEVEK K POZNAVANJU KLIME KANKANA

CONTRIBUTION TO THE KNOWLEDGE OF THE CLIMATE OF KANKAN

France Bernot

551.582.1

Summary:

Using the 6-year observational period (1955 - 1960) some climatic characteristics of Kankan (republic Guinea) are discussed. The data are not quite satisfactory: The observation hours are at 6, 12 and 18 GMT, which is one hour before the Guinea (Kanarian - islands) time. Thus, the warm half of the day has a too big influence on the data. Extreme values are a basis for evaluation of daily mean and monthly mean temperatures.

Fig. 1 presents the rate of mean monthly temperature distribution throughout the year and shows that the primary temperature maximum is reached in April, which is simultaneous with the first sun culmination in zenith. The secondary temperature maximum will be found in October and is a sequence of a rapid decrease of precipitations after the second sun passage through zenith.

The primary temperature minimum is due to the lowest sun position the secondary one in August is due to precipitation and the high degree of cloudiness at this time. The absolute temperature extremes for the period considered are 39,4°C (on March 15th 1958) and 7,4°C (in January 11th 1957).

In spite of two sun culminations in zenith there is only one precipitation maximum in the course of the year. The precipitations are to be expected each month of the year. However there is an arid period from November till April, Fig. 3. In this period a more days of cloudless sky is a usual phenomenon. By the increasing of the angle of the sun culmination, increase the cloudiness and precipitations, but soon after the zenithal position of the sun in August the precipitations decrease, this is the end of the precipitation period.

The climate of the district considered is moderate. There are no rapid temperature changes and the variation from one year to another are rather small. It happens

however, that the precipitation period starts later. In this case there is the danger that the rice harvest, which provides for the main food, would fail.

V tem prispevku obravnava avtor nekatere meteorološke elemente. Na njih osnovi prikazuje neke značilnosti poteka vremena tekom leta v Kankanu. Podatki za 6-letno dobo (1955 - 1960) so z meteorološkega observatorija v Kankanu ($\varphi = 10^{\circ} 23' N$;

$\lambda = 9^{\circ} 18' W$; $H = 378 m$) v republiki Gvineji. Observatorij stoji na izboklini sredi prostrane, rahlo valovite ravnine, porasle s stepsko travo, ki jo namaka Milo, desni pritok reke Djolibe (Niger).

Vsa klimatološka opazovanja opravlja v Gvineji dnevno ob 6., 12. in 18. uri. Pri tem se ravna po grenwickem času, ki je eno uro pred gvinejskim (kanarskim časom). V Kankanu je dejansko uradno ura 11, ko je v Greenwichu 12, a v Jugoslaviji 13. Razumljivo je, da zaradi omenjene časovne neskladnosti podatke, opazovane v zgoraj navedenih terminih, ne moremo primerjati s klimatološkimi podatki Jugoslavije in ostalih evropskih držav.

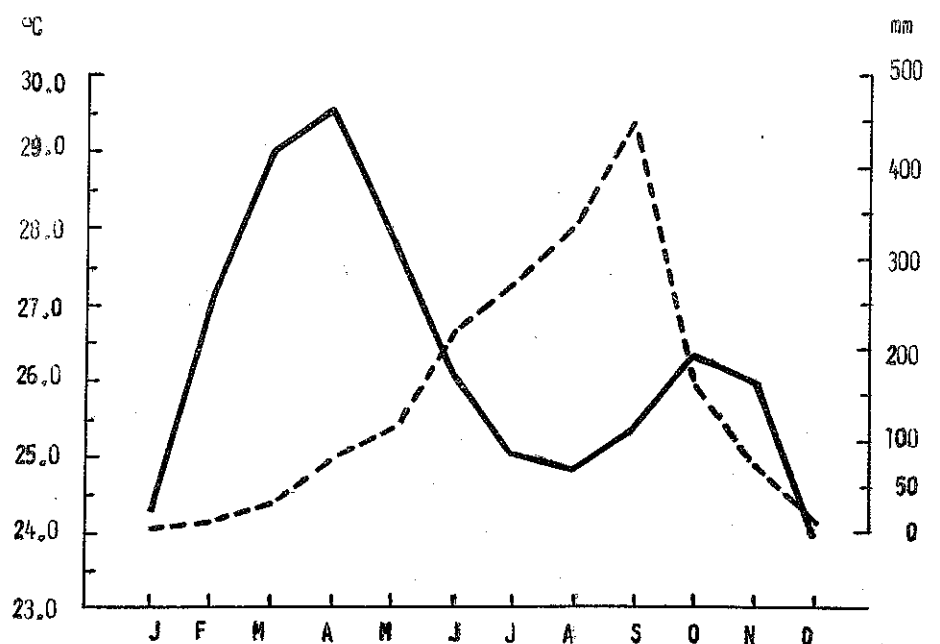
Najdaljši dan v tej geografski širini traja $12^h 35'$, a najkrajši $11^h 25'$ (razlika 70 minut).

V zimski polovici leta vzide sonde po 6., a v letni polovici pred 6. uro. Ker so torej prva dnevna klimatološka opazovanja opravljena tik pred, oziroma takoj za sončnim vzhodom, ko je še relativno "hladno", so ti temperaturni podatki najnižji in zato najbližji dnevnemu minimalnemu temperaturi. Podatki o temperaturi zraka ob 18. uri pa so bližji dnevnemu maksimalnemu temperaturi. Vmesni termin, t.j. ob 12. uri, je v Kankanu le dobre pol ure pred dejansko kulminacijo sonca. Za to so tedaj izmerjene temperaturne vrednosti le malo nižje, ali pa celo enake podatkom ob 18. uri.

Iz navedenega je razvidno, da so opazovalni termini izbrani neprimerno ter ima topla polovica dneva prevelik vpliv na podatke.

Srednjo dnevno temperaturo (T_s) računajo na osnovi podatkov o ekstremnih temperaturah ($T_s = \frac{T_{\max} + T_{\min}}{2}$). Prav tako računajo tudi srednjo mesečno temperaturo iz podatkov o ekstremnih temperaturah.

Ob decemborskem solsticiju kulminira sonce najnižje, a med pomladanskim in jesenskim ekvinokcijem, kulminira dvakrat v zenithu Kankana (sredi aprila in sredi avgusta). Če si sedaj ogledamo temperaturno krivuljo srednjih mesečnih temperatur (slika 1) opazimo dva temperaturna viška: primarnega v aprilu, sekundarnega v oktobru.



Slika 1 Temperatura zraka (—, leva skala) in količina padavin (----, desna skala) v Kankanu v dobi 1955 - 1960

Fig. 1 Air temperature (—, left scale) and amount of precipitation (----, right scale) at Kankan for the period 1955 - 1960

Decembra se uveljavi primarni, a avgusta sekundarni minimum.

Primarni temperaturni maksimum se ujema s prehodom sonca skozi zenit (april). Od decemberskega temperaturnega minima temperatura neprestano narašča, sprva naglo (februarja in marca), nato bolj počasi (aprila). Od maja naprej se temperaturna krivulja naglo spušča in doseže sekundarni minimum v avgustu. To navidezno anomalijo razlagamo s porastom množine padavin (tab. 1 in 2).

	J	F	M	A	N	J	J	A	S	O	N	D
a)	24,3	27,1	29,0	29,6	27,9	26,1	25,0	24,8	25,3	26,3	26,0	24,0
b)	38,1	38,2	39,4	39,3	37,1	35,2	32,5	32,4	32,6	34,1	34,6	35,2
c)	26.	12.15.	15.	7.	10.	12.	18.	17.	22.27.	14.15.	29.	5.
d)	1958	1960	1958	1959	1956	1960	1957	1960	1958	1959	1959	1959
e)	7,4	11,6	13,5	16,6	17,8	18,7	17,9	18,7	18,8	17,6	13,4	9,2

f)	31.	1.	5.	16.	30.	23.	20.	21.	12.	25.	26.	30.
g)	1957	1958	1960	1955	1956	1956	1955	1959	1960	1956	1960	1955
h)	30,7	26,6	25,9	22,7	19,3	16,5	14,6	13,7	13,8	16,5	21,2	26,0

Tabela 1 Temperatura v Kankanu ($^{\circ}$ C) v dobi 1955 - 1960:

- a) srednja mesečna,
- b) absolutni maksimum,
- c) absolutni minimum,
- c)-f) dne,
- d)-g) leta,
- h) amplituda

Table 1 Temperature data at Kankan ($^{\circ}$ C) for the period 1955 - 1960:

- a) monthly mean,
- b) absolute maximum,
- c) absolute minimum,
- c)-f) on the day,
- d)-g) of the year,
- h) amplitude

	J	F	M	A	N	J	J	A	S	O	N	D
a)	1,2	8,2	29,8	79,1	112,6	221,7	272,0	332,5	449,1	159,9	69,3	8,1
b)	4,8	16,6	26,5	45,2	62,5	86,5	84,6	92,1	162,7	100,1	53,8	21,9
c)	15.	26.	2.	20.	17.	13.	17.	2.	4.	14.	26.	5.
d)	1958	1957	1957	1957	1959	1958	1960	1955	1955	1957	1958	1959
e)	0,5	1,0	4,2	6,8	11,5	19,0	20,5	22,8	22,3	16,7	6,2	0,7
f)	2,4	8,2	7,1	11,6	9,8	11,7	13,3	14,6	20,1	9,6	11,2	11,6

Tabela 2 Padavine v Kankanu (mm) v dobi 1955 - 1960:

- a) srednja mesečna količina,
- b) dnevni maksimum,
- c) dne,
- d) leta,
- e) srednje število padavinskih dni,
- f) srednja dnevna jakost

Table 2 Precipitations at Kankan (mm) in the period 1955 - 1960 :

- a) monthly mean,
- b) daily maximum,
- c) on the day,
- d) of the year,
- e) mean number of days with precipitations,
- f) mean monthly intensity

Znano je namreč, da s porastom množine padavin temperatura zraka pada (1.). Nasprotni pojav opazimo v oktobru: takrat se množina padavin naglo zmanjša, zato se temperatura zraka naglo dvigne, dasi je sonce že pred dvema mesecema prešlo skozi zenit. Po oktobru se temperaturna krivulja sprva polagoma, nato pa naglo spusti do temperaturnega minima ob zimskem solsticiju. V tem času je deževna doba že davno minila in na temperaturo zraka ne učinkujejo več padavine, temveč samo zmanjšani vpadni kot sončnih žarkov in skrajšana doba insolacije.

Od avgusta do septembra temperatura zraka narašča, dasi istočasno narašča tudi

množina padavin. Ta protislovni pojav je posledica prehoda sonca skozi zenit v avgustu, pri čemer topotni učinek sončnih žarkov, ki padajo navpično paralizira oziroma celo prekaša učinek padavin.

Oglejmo si še absolutne temperaturne ekstreme v obdobju 1955 - 1960 v Kanknu. (tab. 2). Že na prvi pogled opazimo, da absolutni mesečni temperaturni maksimi nikoli ne padejo pod 30° , medtem ko minimalne temperature v "zimskih" mesecih (december, januar in februar) padajo pod 10° , a v ostalem delu leta se najnižje temperaturne vrednosti redno spustijo pod 20° . Temperaturne razlike med absolutnimi ekstremi, ki so največje v januarju, se do avgusta manjšajo, nakar se zopet večajo. Čim večje so temperaturne amplitude, toliko prijetnejše je, toliko ugodnejše se počutijo prebivalci teh krajev, posebno še beiči dosežnjenci.

Absolutni temperaturni maksimum v obdobju 1955 - 1960 je bil izmerjen dne 15. marca 1958 in znaša $39,4^{\circ}$. Dodati morame, da je zrak v Kanknu zelo suh. Če pade relativna vlaginja pod 20 % je to povsem normalen pojav. Pogosto pa se spusti celo pod 10 %. Padec relativne vlage na tako nizke vrednosti je posledica dominacije vetra (Harmatan) iz severnega kvadranta, ki dovaja od Sahare sem tople in suhe zračne gmote.

Ker ekstremne temperature povsed merijo po isti metodi, lahko sosednje Kanknu primerjamo s temperaturnimi ekstremi drugih dežel. Tako je na primer v decembru 1950 - 1959 znašala maksimalna temperatura zraka v Ljubljani $38,8^{\circ}$ dne 6. julija 1950. Kakor vidimo iz navedenih podatkov, zaostajajo najvišje poletne temperature v Ljubljani le za malenkost ($0,6^{\circ}$) za tiste v Kanknu. Povedaniti pa moramo razlike v relativni vlagi, ki je v Ljubljani vedno dokaj višja od tiste v Kanknu. Znano je, da suhe vročine (epako suh mraz) laže prenašamo od separisce (alične vlažnega mraza): Separica je v suhi polovici leta v Kanknu neznana, medtem ko je v 550 km oddaljenem Conakryju, zaradi bližine morja, zrak stalno vlažen. To naj ilustrira podatek, ki ga je avtor sam izmeril: dne 15. decembra 1960 je ob 7. uri zjutraj znašala v Conakryju temperatura zraka $25,2^{\circ}$, z relativno vlagijo 94 %. Zrak ob obali se tudi preko noči ne ohladi, zaradi stalne kopljage morja. Iste dne ob 17. uri je znašala temperatura Atlantika pri Conakryju $26,8^{\circ}$.

Kar zadeva minimalne temperature pa tole: najnižja mesečna temperatura zraka lahko pada vsak mesec pod 20° . V obravnavane obdobju (1955 - 1960) je bila najnižja temperatura zraka v Kanknu izmerjena 11. januarja 1957. Znašala je $7,4^{\circ}$.

Neredko se primeri, da se minimalna temperatura skozi ves mesec ne spusti pod 20° . Visoke minimalne temperature so najčešče v aprilu, maju in juniju, redkeje v avgustu. V obravnavani dobi je bil vsekakor najtoplejši mesec april leta 1959, saj je tudi njegova srednja mesečna temperatura tedaj $30,9^{\circ}$; njegova minimalna temperatura je bila izmerjena 18. in 22. dne v mesecu in je znašala $22,0^{\circ}$. Po pripovedovanju šefa meteorološkega observatorija v Kanknu se izjemoma primeri, da se minimalna temperatura zraka spusti pod 0° . Žal konkretnega primera ni mogel navesti, ker je ves postajni arhiv izpred leta 1955 shranjen v Conakryju. Po tem datumu pa tako nizka temperatura ni bila izmerjena.

V padavinskem režimu (tabela 2) se nam kaže en sam padavinski višek, dasi bi glede na dvojni prehod sonca skozi zenit pričakovali dva bolj ali manj izrazita padavinska maksima (slika 1). Prvi višek nastopa z zamudo (v diagramu se nam predstavi kot koleno v juniju) in se zato kar spoji z drugim, brez vidnega prehoda, v enega samega. Ta pade na september s srednjo mesečno množino padavin $449,1$ mm.

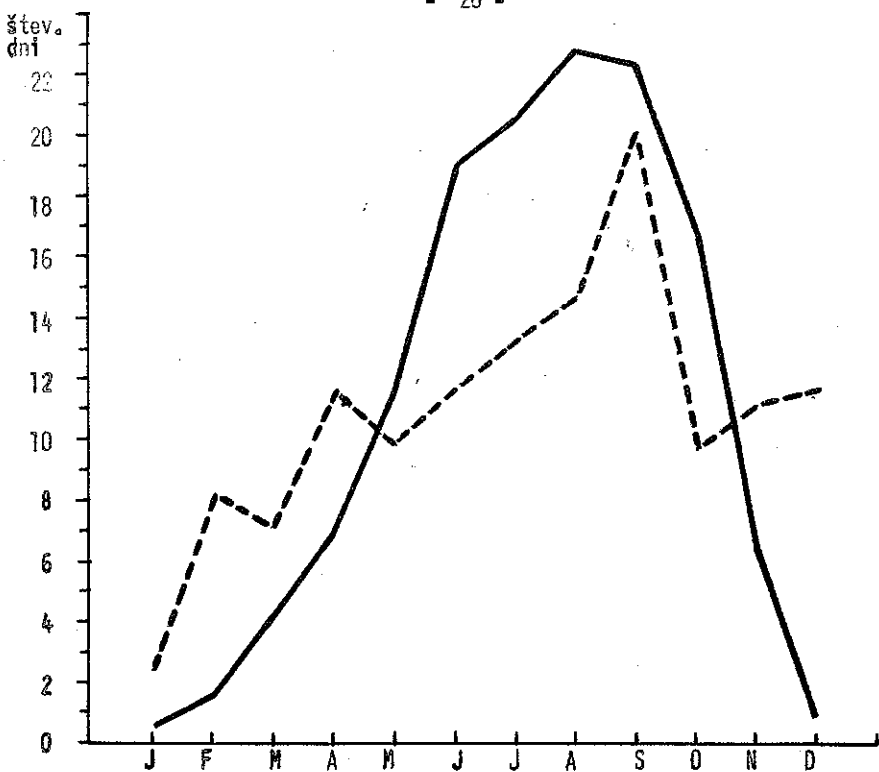
Padavine so možne v vsakem mesecu, razlika je le v množini padavin in v številu padavinskih dni. Najmanj padavinskih dni (dni z dnevno množino padavin najmanj 0,1 mm) je v decembru, januarju in februarju. Takrat se primeri, da po dva do tri mesece skušaj ne pade niti kaplje dežja. V "zimi" 1960/61 ni deževalo od srede novembra pa do 26. marca 1961, to je skupaj okoli 130 dni.

Deficit padavin se pozna na vegetaciji. Trava je suha in požgana, drevje deloma golo, le kserofilna vegetacija je zelena, točneje: rdeča, od lateritnega prahu, ki ga veter stalno prenaša.

Letna množina padavin znaša v Kanknu povprečno $1743,5$ mm, kar je približno za 100 mm več kot v Ljubljani (1925 - 1940). Razlika je v glavnem v razporedu padavin preko leta. V Ljubljani imamo padavine skozi vse leto, v Kanknu pa razlikujemo izrazito suh in izrazito namočen letni čas.

Ce primerjamo intenziteto padavin posameznih mesecev ugotovimo, da je le-ta najmanjša v januarju, nakar varira do maja ter se šele v juniju poveča in doseže v septembru višek. Takrat pade povprečno v enem padavinskem dnevu 20 mm dežja. Nato intenziteta padavin proti koncu leta naglo popušča (tabela 2, slika 2).

Zanimivo pa bi bilo poznati intenziteto padavin za krajše časovne intervale (za 5 ali 10 minut). Iz pripovedovanja tamkajšnjega prebivalstva in iz doživetja avtorja zvemo, da v času pravih tropskih zenitalnih padavin dobesedno "lije kot iz škafa".



Slika 2 Število dni s padavinami 1 mm (—) in povprečna dnevna jakost padavin (----) v dobi 1955-60

Fig. 2 Number of days with precipitation 1 mm (—) and mean daily intensity of precipitation (----) in the period 1955-60

Zato imajo po mestu speljan cel sistem odtočnih jarkov, ki so do 75 cm globoki in neredko 1 m široki in še se neredko primeri, da deževnica preplavi ulice.

Oglejmo si še nekaj podatkov o trajanju sončnega obsevanja ter o oblačnosti.

Tabela 3 nam med drugim prikazuje število ur sončnega obsevanja v Kankanu v dobi 1955-1960. Ker iz dejanskih povprečkov, zaradi različno dolgih mesecev, ne dobimo krivulje, da bi nam prikazala koščenje števila ur sončnega obsevanja, so podatki korigirani glede na različno dolžino mesecev (2). Tako dobljene številke lepše ponazarjajo spremenjanje števila ur sončnega obsevanja tekom leta. Iz diagrama na sliki 2 ugotovimo, da ima ta krivulja nasproten potek krivulje, ki prikazuje koščenje srednje mesečne oblačnosti skozi vse leto.

	J	F	M	A	E	J	J	A	S	O	N	D
a) ob urč.	274	279	271	249	244	234	172	153	186	240	254	263
b) 06.	1,5	1,7	3,2	4,4	5,4	5,8	6,9	7,2	6,6	6,7	4,0	2,3
12.	2,3	2,1	3,4	4,7	5,4	6,1	6,9	7,0	6,4	5,2	4,2	3,1
18.	3,0	3,1	4,4	5,6	5,5	5,6	5,7	6,3	5,0	5,7	5,0	3,8
c)	2,3	2,3	3,7	4,9	5,4	5,8	6,5	6,5	6,3	5,6	4,4	3,1

Tabela 3 Sončno obsevanje in oblačnost v Kankanu v dobi 1955-60

- a) število ur dejanskega sončnega obsevanja korigirano na dolžino meseca,
- b) srednja oblačnost po opazovalnih urah, c) srednja mesečna oblačnost

Table 3 Sun duration and cloudiness at Kankan (1955-60):

- a) number of hours of sun duration corrected on the duration of months,
- b) mean cloudiness at the observing hours, c) monthly mean cloudiness

Januar in februar sta najbolj jasna meseca, zato imata največ ur sončnega obsevanja. (slika 3). V teh mesecih je precej zaporednih dni, ko na nebū ni videti niti sledu oblaka. Čim bolj pa se sonce bliža zenitu, toliko bolj narašča stopnja oblačnosti.

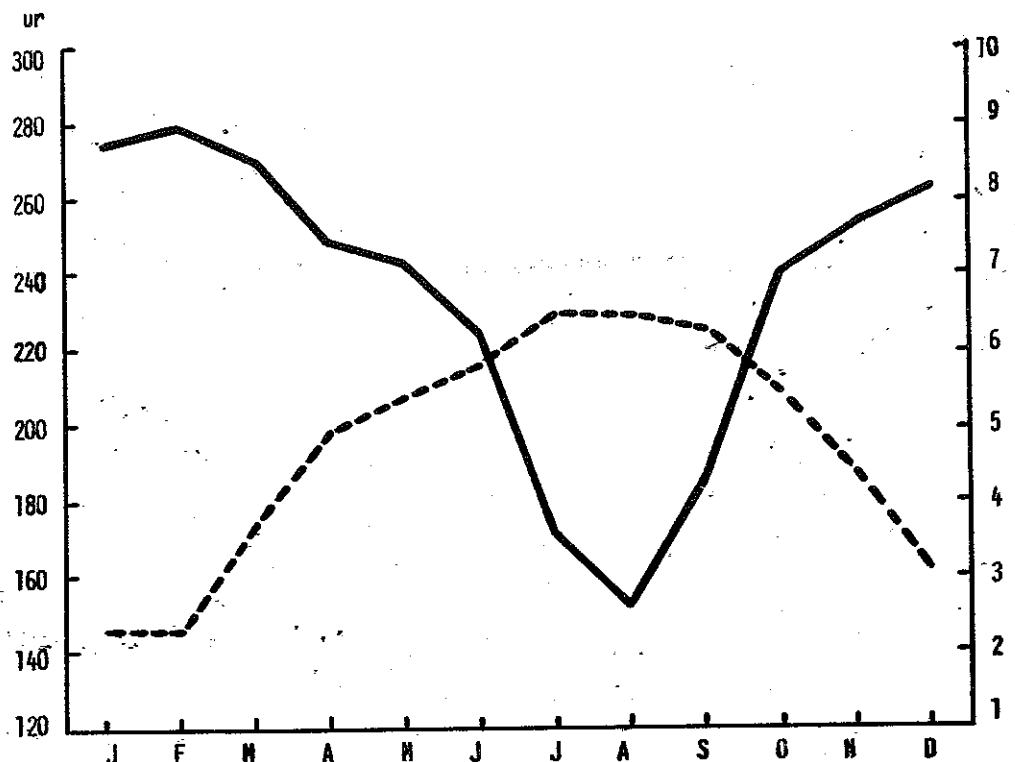
V mesecu marcu je stopnja oblačnosti napram januarju in februarju nekoliko višja. Dasi v tem mesecu večkrat že tudi dežuje, ga vseeno še prištevamo v suho polovico leta.

Mesec april je najtoplejši mesec v letu. Število ur sončnega obsevanja je še zelo visoko, dasi se po prehodu sonca skozi zenit oblačnost naglo poveča. Zato je srednja mesečna oblačnost aprila še enkrat večja od srednje januarske oblačnosti.

Prehod sonca skozi zenit je v vremenskem koledarju te dežele važen mejnik. Že nekaj dni po kuščeniji sonca v zenitu se pojavlja na južnem obzorju močna bliskavica, ki se z vsakim večerom bolj približa, dokler se nekega večera začuje prvi grom. Dan ali dva kasneje zapiha močan južni veter (jakost 4 - 8 po Beaufortu), ki lomi dreve in razkriva koče domačinov. Zaključek tega večdnevnega viharja je prvo neprekinitno nekaj ur trajajoče deževje.

Sem ter tja se primeri, da se deževna doba zakasni. To se je primerilo leta 1961 v Gani. Tedaj je v nevarnosti pridelek riža, ki je glavna hrana v teh krajih.

Z začetkom deževne dobe prične število ur sončnega obsevanja nazadovati in doseže minimum v avgustu. Nasprotno pa seveda narašča stopnja srednje mesečne oblačnosti in



Slika 3. Srednje število ur sončnega obsevanja (—, leva skala) in srednja mesečna oblačnost (----, desna skala) v dobi 1955-60

Fig. 3 Monthly mean number of hours of sun duration (—, left scale), and monthly mean cloudiness (----, right scale), (1955-60)

vzporedno z njo število padavinskih dni ter mesečna množina padavin. Posledica tege je, da se zrak ohlaja in da pada sekundarni temperaturni minimum na mesec avgust.

Kmalu po drugem prehodu sonca skozi zenit t.j. ob koncu avgusta, začne deževna doba popuščati. Septembra, ki je najbolj bogat na padavinah, se že pozna, da je deževna doba minila. Stopnja srednje mesečne oblačnosti se nekoliko zniža, kar ima za posledico povečano insolacijo in z njo povezani porast temperature.

Kakor pri temperaturi, se tudi pri oblačnosti pozna vpliv neprizernih opazovalnih terminov. Če bi ocenjevali stopnjo oblačnosti opoldan in zvečer nekaj ur kasneje, na primer ob 14. in 21. uri, potem bi se slika dnevnega spremenjanja oblačnosti malce spremeniла: največja bi bila okoli 14. ure, a večerna (okoli 21.ure).

bi se približala dnevnu povprečku, ali pa bi bila še pod njim. Na podobne ugotovitve naletimo tudi pri drugih avtorjih (3). V deževni dobi pa se situacija spremeni. Takrat je zvečer in zjutraj najbolj oblačno, saj tudi ponoči in dopoldan največ dežuje, medtem ko se popoldan zjasni in sije sonce.

Variabilnost klime tega predela od leta do leta je majhna. Naglih temperaturnih sprememb (vodorov mrzlega in toplega zraka) ni. Skratka, ves potek vremena je umirjen in odvisen v največji meri od navideznega gibanja sonca.

Literatura:

1. - S. Günther - Physische Geographie - Leipzig 1901
2. - P. Vujevič - Klimatološka statistika - Beograd 1956
3. - J. Hann - Lehrbuch der Meteorologie - Leipzig 1901

PADAVINE OB HLADNIH FRONTAH V SLOVENIJI

COLD-FRONT PRECIPITATIONS IN SLOVENIA

Zdravko Petkovšek

551.577

Summary:

In the present paper are examined the precipitations of 86 cold fronts of the year 1957 in Slovenija (NW part of Yugoslavia). The sum of these precipitations amounts 3/4 of all precipitations falling in the year considered. Slovenia is represented by eleven 1st order stations.

First some theoretical aspects are discussed and it is found that the lack of data do not allow their usage in the district considered. Further is studied the procentual distribution of fronts regarding the amount of precipitations (table-1). The intensity distribution of precipitations at these fronts is significant - in wintertime more regular, in summertime, because of showers, step-form - as it is schematically presented on Fig-1. The intensity of cold front precipitation in wintertime was mostly 2 - 6 mm per hour, in summertime between 8 and 15 mm p h, but with some showers the intensity was of course much greater. The average duration of precipitation at these fronts was 8 hours.

Slovenia is considerably mountainous. There is no wonder then, that the maximum of the curve that represents the time-distribution of precipitation spreading (Fig-2) in most cases coincides with the time of the front passage, defined by the synoptic method. Table 2 presents the number of fronts regarding the mentioned time difference. From these data it can also be concluded that the precipitation distribution corresponds mostly to the classical scheme, in spite of strong front-deformation on the Alps, that was found (8).

The present paper would like to show mainly the dependence of amount of precipitation on various weather and synoptic parameters that could serve as a forecasting resource. On 15 of the precipitations richest fronts, mean values of various parameters were determined, whereas the same was made for 15 of precipitations po-

orest fronts. The results will be seen on the table-3. It shows that only at a few parameters occur enough big differences, that by the suitable consideration some delicate usable correlations are to be found. Later it was found that the majority of the precipitably-rich fronts are the summertime fronts and the majority of the precipitably-poor fronts belong to the winter time. This shows the great influence of the season on the amount of cold front precipitations in the district considered. To eliminate this influence all cold fronts were divided in winter and in summer fronts. For each group the above mentioned method was used. Instead of values of parameters (as on table-3), their differences between precipitably-rich and poor fronts for both groups, and there, counted from the values of table-3, are presented in table 4 and discussed.

Furthermore, the types of the precipitation distribution in Slovenia at cold front passages are discussed. The types are determined after the position of the maximum precipitations amount, that, with the frequency of the types will be seen on Fig-3. The distribution of the precipitations at rich fronts are mainly of types a and b. By appropriate grouping of parameter-values, here as well, no usable correlations were found. In the whole, nowhere at the used parameters there could be found such a difference in the values for the by amount or distribution of precipitations different fronts that the established correlation could serve as a good help at the forecast.

Obravnava zajema padavine, ki so padle ob hladnih frontah v Sloveniji leta 1957. Takih front je bilo v tem letu skupno 93, vendar pa se je v 7 primerih na njih razvila močna sekundarna depresija, da je bil ustroj fronte pri nas povsem spremenjen. Večina obravnava se nanaša zato na 86 hladnih front. Količino padavin v Sloveniji predstavlja povpreček iz količin, izmerjenih na 11 sinoptičnih postajah. To so: Murska Sobota, Maribor, Celje, Šmartno, Novo mesto, Ljubljana, Jezersko, Planica, Postojna, Ajdovščina in Koper.

Poglejmo najprej na kratko kakšne so možnosti, da bi problem zajeli teoretično. Mechanizem nastanka padavin je v splošnem dobro znan. V njem nastopajo kot glavni faktorji kondenzacijska jedra, količina vode oziroma vodne pare in ohladitveni proces. Na prve ne polagamo velike važnosti ker smatramo, da je v naravi primernih kondenzacijskih jader dovolj. Količina vlage v zraku je zelo važna: njena določitev s sodob-

nimi sredstvi tudi za višje plasti troposfere načelno ni težka, dasi pri nas praktično je, zaradi pomanjkanja radiosondnih postaj v okolini. Kot glaven problem pa nastopa določitev ohladitvenega procesa. Pri teoretičnih proučevanjih često smatramo, da so neadiabatni vplivi v prosti atmosferi zanemarljivi ter je glavni vzrok za ohladitev adiabatni proces. Ta je vezan na vertikalna gibanja, ki pa direktno niso merljiva. Na podlagi gornjih ugotovitev in postavki se je v glavnem razvijalo teoretično delo za ugotavljanje in prognozo količine padavin. Poznamo že nekaj enačb, ki se v bistvu ne razlikujejo mnogo. Praktičnim možnostim je blizu Fulksova formula /1/, ki daje količino padavin v obliki

$$RR = - \frac{E}{R T} \left(\frac{de}{dz} + \frac{eq}{R T} \right) v \Delta z$$

kjer sta konstanti $E = 0,622$ in $R = 287 \text{ J s}^{-2} \text{ st}^{-1}$, T temperatura, e parni pritisk, v vertikalna hitrost in Δz debelina posameznih horizontalnih plasti. V teh plasti smatramo ostale količine za konstantne oziroma vzamemo njihove srednje vrednosti. Poleg vrednosti e , T , de/dz , ki jih je možno dobiti iz radiosondnih podatkov, nastopa v njej vertikalna hitrost, kot v splošnem kvantitativno težko določljiva količina; v območju frontalnih motenj in še ob orografski pregradi pa je praktično neznana. Zato nas ta in podobne enačbe ne privedejo do zanesljivih kvantitativnih vrednosti. Kvalitativna presoja pa lahko izhaja iz samih osnovnih spoznanj o mehanizmu nastanka padavin. Ta nam pove, da je za količino padavin važna tudi debelina oblakov zaradi dolžina poti, na kateri pada kapljica skozi oblak, in višina izoterme 0°C zaradi tvorjenja ledenihi kristalčkov. Zato se pridružujeno mnenju strokovnjakov, ki smatrajo, da so za praktične potrebe statistični in empirični izsledki na tem področju še vedno najuspešnejši.

Skupno je padlo ob obravnavanih 86 hladnih frontah 822 mm padavin. Podatek predstavlja povpreček z 11 sinoptičnih postaj, ki zastopajo Slovenijo. Ta vrednost ob zaokrožitvi pomeni, da je povpreček na hladno fronto 10 mm padavin. Posamezni primeri seveda močno odstopajo od tega povprečja. Ekstremi so pri frontah brez padavin, teh je 12 % in na drugi strani fronta od 6. maja 1957, ob kateri je padlo v Sloveniji povprečno 51 mm padavin (katastrofalni majski sneg). Za primerjavo z letnim povprečjem, ki znaša 1130 mm (2), moramo pritegniti še 7 hladnih front, ob katerih so se razvile zelo močne sekundarne depresije, zaradi česar smo jih sicer izpostavljeni iz splošnega proučevanja, čeprav so dale skupno 42 mm padavin. Odtotek lahko potem

ugotovimo, da so dale hladne fronte 3/4 v tem letu padlih padavin. Postavka "ob hladnih frontah" pomeni, da tu niso vračunane samo tiste padavine, ki so padle prav ob prehodu fronte same. Te je namreč težko ali pa povsem nemogoče ločiti od predfrontalnih, orografskih, v pojačani cirkulaciji pred fronto, od termično konvektivnih ploh kmalu po prehodu fronte, od tistih, ki so nastale v tem času v zvezi z razvojem sekundarne depresije itd. Vsi ti efekti in zato vse te padavine pa so v zvezi s prihodom hladne fronte in bi jih brez nje ne bilo. Zato so tu upoštevane vse padavine, ki so padle v dneh ob fronti, razen tistih, za katere je analiza pokazala, da so nastale zaradi bližnje tople fronte. Analiza ostale četrtine padavin je pokazala, da jih nekaj več kot polovica odpade na tople fronte, in manjši del na osamljene poletne plohe, procese v zvezi s kapljijo hladnega zraka v višinah itd. Dopolnilo k omenjeni povprečni količini padavin ob hladnih frontah daje pregled razporeditve front glede na količino padavin:

Količina padavin (mm)	0	0,1-1,9	2-10	11-30	>30
Število front v %	12	23	34	23	8

Tabela 1 Pogostnost hladnih front glede na količino povzročenih padavin

Table 1 Percentage frequency of cold fronts regarding the amount of precipitations

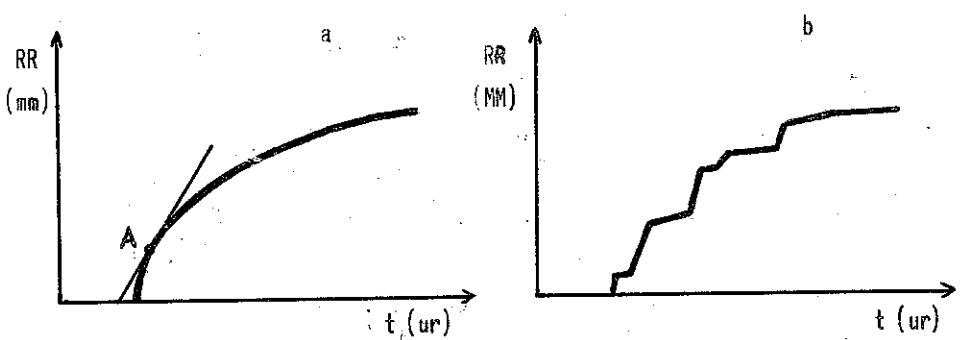
Iz nje je razvidno, da 12 % front ni dalo nobenih padavin, v ostalem pa prevladujejo fronte s količino padavin pod 10 mm, dasi tudi padavinsko bogate fronte niso izjeme.

Ker so prav ob hladnih frontah dani pogoji za najmočnejše naivo vsled velike nestabilnosti, ne bo odveč, če si ob tem ogledamo intenzivnost padavin ob teh frontah. Za uspešno delo so seveda potrebeni ombrogrami, zato se moramo v tej zadevi omejiti le na en kraj - Ljubljano. Izkaže se, da imamo ob hladnih frontah v Ljubljani dokaj tipično razporeditev intenzitete padavin, ki je shematično prikazana na sliki 1a. V poletni dobi jo navadno popači izrazit značaj ploh, ki ji da stopničasto obliko, pri čemer je osnovna razporeditev često še lepo ohranjena - slika 1b. Intenziteta je določena s strmino tangente na ombrogramsko krivuljo v točki na prvi tretjini količine - na sliki točka A.

Norda ta način ni najboljši, vendar je enostaven in kaže, da se giblje intenziteta padavin ob hladnih frontah v zimski polovici leta med 2 in 6 mm/h v poletni pa med 8 in 15 mm/h. Seveda nastopa ob posameznih plohah poleti intenziteta preko 100 mm/h, vendar v značilno krajšem času kot je ena ura. Maksimalna dnevna količina padavin v

dneh ob hladni fronti v tem letu je bila povprečno za Slovenijo 45 mm (fronta dne 5. V.), od upoštevanih krajev je imela tedaj največ padavin Planica 72 mm.

Vzporedno s tem nas zanima vprašanje o trajanju padavin ob hladnih frontah pri nas, nanj pa je razmeroma težko odgovoriti. Težave pri določanju trajanja padavin nastopajo zlasti poleti, ko padavine niso zvezne ter so časi dejanskega padanja razmeroma kratki, celotna doba ploh pa je lahko precej dolga. Padavine ob hladnih frontah v zimski polovici leta, ko imajo padavine dokaj zvezen potek, trajajo povprečno 8 ur, z ekstremnima vrednostima trajanja padavin 3 in 16 ur. Pri tem so bile upoštevane le fronte, ki so daše ob zaokrožitvi nad 1 mm padavin. V letni dobi je bil čas dejanskega trajanja večinoma krajski, v posameznih primerih pa so trajale padavine kontinuirano tudi več kot 24 ur, toda le v zvezi s sekundarno depresijo južno od Alp. Ta pa nastane večinoma prav ob prihodu hladne fronte v Sredozemlje (3).



Slika 1 Shema zimskega a) in poletnega b) razporeditve padavin ob prehodu hladnih front preko Slovenije

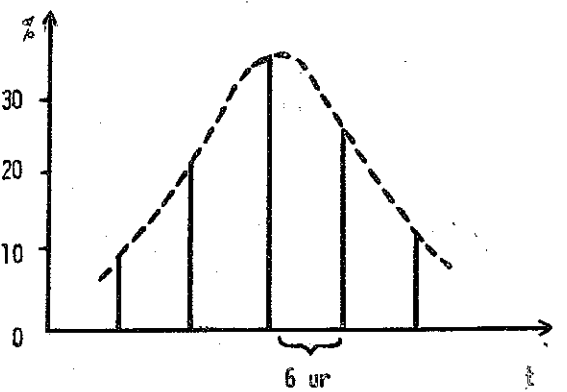
Fig-1 Schema of winter distribution a) and summer distribution b) of precipitations at cold front passages over Slovenia

Proučevanje geografske razširjenosti padavin ob hladnih frontah nam pokaže, da je okrog 70 % od padavinskih hladnih front povzročilo padavine po vsej Sloveniji, to je, na vseh upoštevanih postajah. Včasih se dogodi, da ostane brez padavin le severovzhodna Slovenija in včasih, da je brez padavin le Primorska. V

ostalem so brez padavin le posamezni kraji, a brez reda. Več o krajevnih razporeditvih padavin bo povedano na koncu razprave.

Vrst padavin posebej nismo natančneje proučevali. Na podlagi opažanj med celotnim delom in manjših vzporednih tovrstnih analiz pa lahko trdimo, da so ob hladnih frontah pri nas zastopane vse vrste. Prehod iz dežja v sneg pa je vsekakor značilen prav ob hladnih frontah in zgodni spomladanski pozni jesenski dobi. Oblika padavin, ki je značilna za procese ob veliki labilnosti ob hladnih frontah, je toča, ki povzroča letno v Sloveniji precejšnjo gospodarsko škodo in je bila v zvezi s tem pri nas že obravnavana. (4). Toča zavzema navadno le manjša področja ter so nekateri kraji, kjer pogosto pada in drugi, kjer je skoro nikoli ni. Iz tega sledi, da so pri njenem nastanku odločujoči lokalni vplivi, vendar pa je splošna velika labilnost ozračja in zadostna količina vlage v zraku potreben predpogoji za njen nastanek. Zaradi močno lokalnega značaja, je toča z nedoločeno stopnjo reprezentativnosti zastopana v mreži upoštevanih enajstih postaj. Na teh postajah je bilo v letu 1957 skupno 13 dni s točo, od tega devetkrat le na eni postaji, štirikrat pa sta imeli točo po dve od teh postaj isti dan. Od omenjenih 13 dni jih pada 9 na dan prihoda hladne fronte (med njimi vsi dnevi s točo na dveh postajah hkrati) in dva dneva v naslednjem dan po prehodu fronte. Od ostalih dveh dni je bila enkrat toča časovno dlje od prehoda fronte in drugič v Kopru ob višinski depresiji (17. VI. 1957).

Kot pripomoček za časovno določitev prehoda hladnih front se je izkazalo primerno upoštevanje razširjenosti padavin nad obravnavanim področjem v določenih časovnih intervalih, kar je dalo zanimive rezultate. Padavine, ki jih povzroči posamezna hladna fronta, trajajo v povprečju, kot smo videli, nekaj ur, zato določanje na uro natančno ni primerno, razen tega pa moramo upoštevati, da delamo primerjave za neko področje, preko katerega potuje fronta neki čas. Izkazalo se je, da je časovni interval 6 ur ugoden. Vsakih 6 ur določimo, koliko od izbranih postaj je imelo padavine, zajamemo pa ob vsaki fronti dobo 30 ur, torej 5 časovnih točk iz območja prehoda fronte, ki smo ga določili po sinoptičnih kartah. Opazimo, da nastopa pri veliki večini primerov nek relativni maksimum, čas njegovega vrha pa se zelo dobro ujema s časom prehoda hladne fronte preko osrednje Slovenije, določenim po sinoptičnih kartah. Izločiti moramo fronte, ob katerih sploh ni bilo padavin, za ostale primere pa ugotovimo srednji relativni maksimum, ki je tudi v povprečju lepo izražen in ga predstavlja slika 2. Ujemanje posameznih maksimov s časom prehoda fronte pa je razvidno iz tabele 2.



Slika 2 Povprečna razporeditev razširjenosti padavin (odstotek postaj s padavini) v času prehodov hladnih front

Fig-2 Average distribution of precipitation spreading (percentage of the stations with precipitations) in the time of cold front passages

	maksimalna razširjenost padavin		
	pred fronto	ob fronti	za fronto
stopnja odklona (v urah)	12	6	0
število front (v %)	4	16	63

stopnja odklona (v urah)	12	6	0	6	12
število front (v %)	4	16	63	24	3

Tabela 2 Število front glede na časovni odklon maksimalne razširjenosti padavin od sinoptično določenega časa prehoda hladne fronte

Table 2 Number of fronts regarding the time difference between the time of maximum of precipitations spreading and synoptically determined time of frontal passage

Razvidno je, da se v večini primerov čas prehoda hladne fronte in čas nastopa maksimalne razširjenosti padavin ujemata. V ostalem nekoliko prevlačuje število tistih

prijetorov, pri katerih nastopi največja razširjenost padavin v intervalu 6 ur po prehodu hladne fronte, določenem po sinoptičnih kartah. To pa je v skladu z razporeditvijo padavin glede na klasično shemo hladne fronte in vremenskega dogajanja v njej. Vendar ni gotovo, da je bil čas po sinoptični metodi vedno povsem pravilno določen in da pri razporeditvi padavin niso prevladovali lokalni vplivi. Če smatramo, da je čas, določen po sinoptični metodi pravilen, potem iz tabele sledi, da nastopa v Sloveniji največja razširjenost padavin najčešče prav ob prehodu hladne fronte, v ostalem pa češče nekaj ur za fronto kot pred njo. Glede na Bergeronovo klasifikacijo (5) lahko iz tega dalje sklepamo, da prihaja k nam več front I. kot II. reda, oziroma v smislu Faustove klasifikacije (6) več pasivnih kot aktivnih hladnih front. Tako sklepanje bi lahko ob upoštevanju še drugih kriterijev, ki določajo posamezni frontalni tip, prešlo v trditev, če bi bilo področje topografsko enotnejše in če bi razpolagali s tako velikim številom hladnih front, da bi lahko eliminirali vpliv dnevnega časa s parcialnimi proučevanji glede na dnevni čas grupiranih front. Z enako upravičenostjo moremo sicer smatrati, da časovni odklon maksimalne razširjenosti padavin od sinoptično določenega prehoda hladne fronte ni posledica tipa fronte, temveč predvsem vpliva dnevnega časa ali pa aktivnosti sekundarnih depresij, zlasti onih, ki potujejo po poti Vb (po Van Beberju) /7/. Prvo trditev podpira dejstvo, da je 14 od 19 hladnih front, pri katerih je maksimum razširjenosti padavin v času po prehodu fronte, prešlo Slovenijo zjutraj ali dopoldne. Direktno torej niso povzročile padavin, ampak so nastopile padavine šele pozneje v obliki ploh ob termalni konvektivni aktivnosti. To lahko velja predvsem za poletno dobo in res tudi velika večina teh primerov nastopa v letni dobi. Ker so ostali trije primeri s "zakasnito razširjenostjo padavin" nastali ob razvoju sekundarne depresije, s čimer imamo obrazloženih 90 % takih primerov sledi, da je na tej osnovi brez drugega resnično neprimerno sklepati na tip fronte.

Razmeroma malo je primerov, pri katerih je maksimalna razširjenost padavin nastopila pred prihodom fronte, kot sledi iz gornje tabele. Zato pri njih ni mogoče najti kakega reda in je težko ugotoviti vzrok za to. V posameznih primerih lahko nastopa katerikoli izmed zgoraj obravnavanih vplivov, dodatno pa utegneje biti tu odločajoče predfrontalne orografske padavine ob pojačani horizontalni cirkulaciji pred fronto.

Ugotoviti želimo odvisnost količine padavin od raznih vremenskih in sinoptičnih

parametrov. V zvezi s prvimi bi mogli uspešneje razložiti vzroke in razporeditev padavin (krajevno kot časovno), pri drugih pa bi poleg tega pričakovali možnost prognostičnih prijemetov, ker se dajo nekateri sinoptični parametri mnogo laže prognozirati kot direktno količina padavin. V ta namen si izberemo glede padavin ekstremne primere hladnih front.

fronte, ki so padavinsko	Δt	ΔT	W_f	v_f	α_f	B_t	K	dd	ff	$\Delta \alpha_f$	ΔT_h	$\Delta T'$	δ_T	$\Delta \alpha_f$	dd_n	
	ur	°C	. 10°	km/h	10°	. 10°	m/s	°C	°C	100 m	°	°	°	°	n	
bogate	7	4,3	10	31	36	28	m	C	25	16	m	3,9	5,0	0,6	1,7	360
revne	8	1,7	0	32	34	28	m	m	28	15	m	3,2	8,0	0,6	3,7	310

Tabela 3 Povprečne vrednosti parametrov pri padavinsko bogatih in padavinsko revnih hladnih frontah.

Simboli pomenijo: Δt - časovna razlika prehoda fronte od 03. ure po lokalnem času, ΔT - jakost ohladitve pri tleh, W - število neviht, α_f - smer prihoda fronte (8), v_f - hitrost premeščanja fronte, α_t - smer tokov nad Alpami na 300 mb ploskvi, B_t - barični tip (9) (m - različen), K - ukrivljenost izohips na 500 mb ploskvi, $\Delta \alpha_f$ - topla advekcija (diferenca vetrovne smeri na 850 in 500 mb ploskvi), ΔT_h - moč ohladitve na 850 mb nad Nõnchenom, dd in ff - smer in hitrost vetra na 500 mb ploskvi po prehodu fronte, $\Delta T'$ - depresija rosišča v topljem zraku na 850 mb ploskvi, δ_T - stabilnost v topljem zraku (temp. differenca med 850 in 500 mb), $\Delta \alpha_f$ - deformacija fronte na alpah (8), dd_n - smer vetra pri tleh po prehodu fronte.

Table 3 Mean values of parameters by precipitately richest and by precipitations poorest cold fronts

The symbols stands for: Δt - the time difference between 03 local time and the time of front passage, ΔT - temperature decrease caused by the front, W - number of thunderstorms, α_f - direction of frontal approach, v_f - its speed, α_t - wind direction above the Alps on 300 mb level, B_t - the type of baric field (9) (m = different), K - curvature of counter lines on 500 mb level, dd and ff - eind direction and speed on 500 mb level, $\Delta \alpha_f$ - vertical wind ahear (warm advection), ΔT_h - cooling in the ligh levels, $\Delta T'$ - dew point depression in the warm air on 850 mb level, δ_T - the stability of warm air, $\Delta \alpha_f$ - the deformation of front on the Alps, dd_n - wind direction at the ground after the front passage.

V ta namen si izberemo glede padavin ekstremne primere hladnih front. Izločimo 15 front, ki so povzročile povprečno v Sloveniji nad 20 mm padavin in enako število takih, ki niso dale nobenih padavin ali v povprečju za Slovenijo. Te neizmerljivo malo. Določitev srednjih vrednosti raznih parametrov pri obojih tipih je dala rezultate, ki so razvidni iz tabele 3.

Za računanje smiselnega povprečnega časa prihoda enih in drugih front vzamemo srednji odklon od 03. ure, ki je nasprotna tisti vrednosti v dnevnu, ob kateri nastopa maksimum dnevne temperaturne krivulje in zato vpliv segrevanja od tal. Tako nam pove majhen odklon, da so prešle tiste fronte v nočnih ali zgodnje jutranjih urah, velik pa, da so prešle v dobi relativno tople podlage, ki daje svoj doprinos h konvekciji. Razporeditev, ki jo dobimo v tem pogledu je sicer neizrazita, vendar v nasprotju s pričakovanji. V iskanju vzroka za to se je izkazalo, da smo pri tem izpustili važen faktor, to je letni čas. Razumljivo je, da igrat insolacija važno vlogo poleti, medtem ko je njen vpliv na segrevanje tal, konvekcijo in končno dnevno razporeditev padavin pozimi nepomemben. S tega stališča smo analizirali ene in druge fronte in ugotovili, močno potrditev naših domnev: 13 od 15 padavinsko bogatih hladnih front spada v letno polovico leta (od 1. IV. - 30. IX.) Obratno je razmerje pri frontah brez padavin: 13 od 15 front jih pada v zimsko polovico leta. Iz tega sledi, da je pri oceni padavin potreben upoštevati letni čas kot bistven in često odločujoč faktor.

Podelimo vseh 86 hladnih front, glede na dano razdelitev leta, v letne in zimske, ter določimo vsaki skupini povprečno količino padavin. Za zimske dobimo vrednost 4,5 mm in za letne 13,5 mm, kar pomeni, da so poletne hladne fronte v povprečju trikrat bogatejše na padavinah kot zimske in to daje končno potrditev gornji postavki. Odvisnost količine padavin od dnevnega časa, ki smo jo dobili lepo izraženo pri drugih primerjavah (10), nam tu prekrije vpliv letnega časa, ki je očitno prav tako važen ali celo odločilnejši.

Vzajemnost moči ohladitve in količine padavin ob frontah se kaže tudi iz te tabele, razlika pa je gotovo pri letnih frontah občutnejša kakor pri zimskih. V najtesnejši povezavi z gornjim je tudi nevihtnost, zakaj ob 15 padavinsko bogatih frontah je bilo zabeleženih v obravnavanih krajih Slovenije skupno 146 neviht, ob enakem številu padavinsko šibkih front pa le 4 in še to le pri tistih dveh izjemnih primerih, ki spadata med poletne fronte. Povpreček vrednosti danih številk ob zaokrožitvi na število front da vrednosti, ki so razvidne iz tabele. Iz nadaljnjih stolpcev v tabeli sledi, da ni opaziti bistvenih razlik med povprečki enih in drugih front glede smeri, iz katere pride fronta, glede hitrosti front, hitrosti višinskih tokov nad nami, višinske ohladitve na 850 mb

ploskvi, glede baričnega tipa, vetrovnega striženja z višino in tudi ne v stabilnosti toplega zraka. Pri tem nas predvsem preseneča zadnja ugotovitev.

Ostale vrednosti nam kažejo, da je pri padavinsko bogatih frontah krivina tokovnic nad nami pretežno ciklonalna in so le včasih tokovnice ravne, medtem ko je pri padavinsko revnih frontah to različno. Smer višinskih tokov je pri padavinsko bogatih frontah jugozahodna, medtem ko je pri revnih opaziti majhno severno komponento, v čemer je čutiti rahel vpliv fenizacije, ki je sicer važna, tu pa očitno maskirana z drugimi efekti. Rekli smo, da v vetrovnem striženju pri povprečkih, ki so daní v gornji tabeli, ni opaziti razlik. Analiza pa posameznih primerih pa nam pokaže, da vlada med njimi zelo velika neenotnost v predznaku, čeprav absolutne vrednosti res niso velike. Povsem pa izstopajo primeri, ko imamo na 850 mb ploskvi prav nasproten veter kot na 500 mb ploskvi. Zanimivo je pri tem to, da nastopajo taki slučaji češče ob padavinsko revnih hladnih frontah, vendar pa je pri takih razporeditvi ob padavinsko bogatih frontah v višinah vedno jugozahodnik. Ta topel in vlažen zrak se nariva nad hladnega, ki prihaja iz Panonske kotline v nižjih plasteh, kar je pri nas značilen in poznan pojav. Pri padavinsko revnih frontah prevladuje v večjih višinah NW ter imamo višinski fen, v nižjih plasteh pa prodiranje hladnega zraka od vzhoda.

Razlika med obema skupinama front se kaže v vlažnosti toplega zraka (ΔT_f) to je depresiji rosišča, ki je seveda večja pri padavinsko revnih frontah. Tudi radarska proučevanja drugod so pokazala relativno veliko korelacijo med tem parametrom in padavinami ([1]). Ker se ta parameter nanaša na stanje pred prihodom fronte, nam lahko služi kot uspešen prognostični pripomoček pri predvidevanju količine padavin, dasi moramo upoštevati tudi mogoče odstopa od tega povprečja. Glede deformacije front ob Alpah ($\Delta\alpha$) se je izkazalo, da je ta pri hladnih frontah, ki so dale mnogo padavin znatno manjša kot pri frontah brez padavin, za kar ni videti neposrednega vzroka. Možno je, da igra pri tem vlogo vertikalni transport toplove in sproščena latentna topota v višjih plasteh, verjetno pa je to tudi v zvezi s hitrostjo front, ki je pri prvih nekoliko večja, gotovo pa se tudi tu pozna vpliv letnega časa. Glede na stalno segrevanje zraka v nižjih plasteh in močnejšo vertikalno izmenjavo poleti lahko smatramo, da se letne fronte manj deformirajo kot zimske, pri katerih je stratifikacija v splošnem stabilnejša in nastopajo veliki temperaturni gradijenți. Na hladni zrak pri čemer zato tedaj le malo vplivajo višinski tokovi in se zora samostojno pralivati po poti najmanjšega odpora okoli pregrada.

Glede na spodaj omenjena razmerja obojih front tabela 3 in glede na letni čas, v katerega fronte spadajo, lahko smatramo, da so padavinsko bogate fronte dejansko padavinsko bogate letne fronte in da so fronte, ki sestavljajo drugo vrsto omenjene tabele, dejansko padavinsko revne zimske fronte. Poisčimo tem nasprotne primere in izberimo posebej letne, padavinsko revne in zimske, padavinsko bogate hladne fronte ter primerjajmo fronte v vsaki letni polovici posebej, s čimer izločimo vpliv letnega časa. Če tvorimo kar diference srednjih vrednosti za značilnejše parametre dobimo vrednosti, ki jih prikazuje tabela 4. V njej smo dodali zaradi ilustracije še diference, ki jih dobimo iz vrednosti tabele 3.

Parameter:	Δt ur	Δt °C	W	α_f °	v_f km/h	ΔT_h °C	ΔT_p °C
Razlike za :							
poletne fronte	3	4,2	5,0	0	1,3	2,7	2,2
zimske fronte	0	1,6	1,6	-40	1,1	1,7	5,6
iz tabele 3	1	2,6	10,0	-10	0,2	0,7	3,0

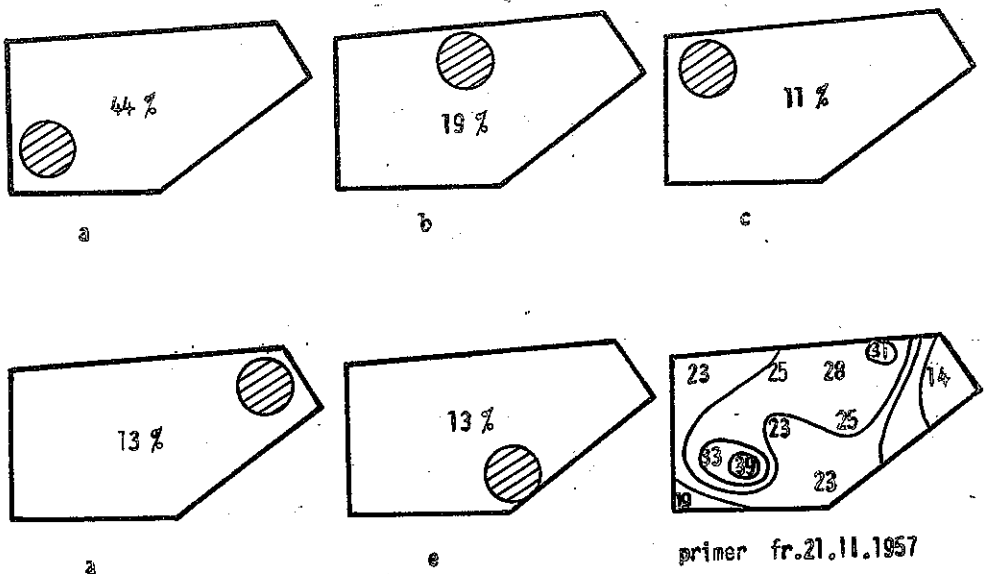
Tabela 4 Razlike povprečnih vrednosti parametrov med padavinsko bogatimi in padavinsko revnimi frontami. Označbe kot pri tabeli 3. Pozitivne vrednosti pomenijo, da so bile te pri padavinsko bogatih frontah večje.

Table 4 Differences of mean values of parameters between precipitably rich and poor fronts for summer (poletne) and winter (zimsko) fronts and these from the table 3. Positive values signify that these were bigger at rich fronts.

Zadnja vrsta nas v primerjavi z gornjima opozori na tiste parametre, ki so odvisni predvsem od letnega časa. To so nevihte in ohladitve na višinah, pri katerih leže vrednosti zadnje vrste izven vrednosti gornjih dveh, medtem ko so vrednosti ostalih parametrov med temi. Večina neviht nastane pri nas poleti, ohladitve na višinah pa so poleti slabše zaradi močnejše vertikalne izmenjave, vsled konvekcije.

Za proučevanje krajevne razporeditve padavin ob hladnih frontah v Sloveniji so bile za fronte prve polovice leta risane padavinske kartice. Posamezne padavinske kartice kažejo celotno količino padavin, ki jo je povzročila ustrezna hladna fronta. Primerjava teh kartic med seboj je pokazala, da jih moremo grupirati v 5 tipov (a, b,

c, d, e) glede na tisti kraj ali predel Slovenije, kjer je bila količina padavin največja. V veliki večini primerov je nastopal tak maksimum samo nad enim delom Slovenije, odtod vstran pa je bila količina padavin vse manjša; le redko sta bila dva močna maksimuma izrazito ločena. Definicije posameznih tipov in odstotek front,



Slika 3 Tipi padavinske razporeditve glede na kraj ali področje z maksimalno količino padavin in pogostost tipov

Fig-3 Types of precipitations distribution regarding the place or district with maximum amount of precipitations, and frequency of types

ki pripadajo posameznemu tipu, so razvidni iz slike 3, kjer je kot primer pridana še kartica za fronto 21. II. Področje maksimalne količine padavin, ki definira tip padavinske razporeditve je označeno na sliki s krogom. Fronte, ki niso dale nikjer nobenih padavin, so bile iz tega proučevanja seveda prej izločene.

Iz slike je razvidno, da je skoro v polovici primerov razporeditev tipa a, to je taka, da ima največ padavin Primorska, proti severovzhodu pa jih je vedno manj. Ta razporeditev je v skladu z razporeditvijo, ki izhaja iz splošne padavinske karte Slovenije (12)

ter je bilo zato pričakovati, da bo tudi med našimi tipi najmočnejše zastopana. Frekvence front za ostale type je približno enaka ter so si zato ti tipi po frekvenci precej enakovredni. Parametri, ki smo jih doslej uporabljali za primerjavo efektov in vplivov ob frontah, so bili grupirani za vsak posamezni tip padavinske razporeditve. Rezultati tega dela pa so presenetljivo neenotni in nezadovoljivi. Pričakovali bi, da je razporeditev padavin odvisna od smeri, iz katere prihaja hladna fronta, kar pa rezultati primerjav skoraj povsem zanikajo. Še največja enotnost v tem pogledu se kaže pri tipu e (pri tem tipu se padavine najmočnejše v jugovzhodnem delu Slovenije - Novo mesto), čigar fronte prihajajo dosledno od severozahoda, medtem ko kaže tip b dokaj izrazito dve smeri in sicer isto kot prejšnji in jugozahodno, ki pa je v manjšini. Na podlagi te grupacije smo si obetali podatke za obrazložitev vzrokov posameznih padavinskih razporeditev, vendar pa nam silna neenotnost v parametrih onemogoča kakršnekoli zaključke, ki bi imeli splošno vrednost.

Analiza teh skupin pa je nadalje pokazala, da so bile povprečne količine padavin v Sloveniji velike le pri tipu a in b, ki sta tudi zato najbolj važna. Pri ostalih treh tipih pa je v povprečju kot tudi pri posameznih primerih količina padavin dalje pod srednjo vrednostjo, razen v enem samem primeru, ki pa tudi ni posebno izrazit. Obratno sledi, da je pri padavinsko bogatih frontah razporeditev padavin v Sloveniji v smislu tipa a in b torej taka, da ima največ padavin zahodna ali severna Slovenija. Najrevnejše pa padavinah so fronte, ki dajo maksimalno količino padavin v Prekmurju (tip d). Neugodno dejstvo, da vlada med parametri po tipu padavinske razporeditve grupiranih front izredna neenotnost, nam onemogoča, da bi po katerem izmed njih lahko sodili, kakšna bo razporeditev padavin v Sloveniji ob prihajoči fronti. Tu si moremo očitno pomagati le s splošno vremensko situacijo, z ugotovitvijo bodoče stacionarnosti fronte ter z oceno nastanka ter smeri in hitrosti gibanja sekundarne depresije, ki na hladni fronti južno od Alp tako često nastaja.

Literatura:

1. Petterssen S: Weather Analysis and Forecasting, sec. ed. Vol. II,
London 1956.
2. Petkovšek Z: Poseben prikaz vremena v Sloveniji za leto 1957, Univerza v
Ljubljani, razprava 1960.
3. Gressel W: Die Bedeutung der Mittelmer-Depresionen in der Alpinen Wetter-
vorhersage, Met. Rundsch. Jahrg. 5 Nr. 1/2 .
4. Reya O: Invasion de front froid dans les Alpes sudorientales,
La Meteorologie - IV.
5. Bollay E: Fronts, Handbook of. Met. London 1945, cit. Bergerona.
6. Faust H: Kaltfronten und Kaltfronttypen, Berichte der Deutsch. Wetterd.
Nr. 12.
7. Chromov S P : Einführung in die synoptische Wetteranalyse, Wien 1940,
cit. Van Bebba.
8. Petkovšek Z: Die Einfluss der Alpen auf die Kaltfront-Bewegungen,
Berichte der Deutsch. Wetterd. Nr. 22.
9. Petkovšek Z: Doprinos k prognozi spomladanskih pozeb v Sloveniji,
Meteorol.Zbornik I, DMS Ljubljana 1957.
10. Petkovšek Z: Der Niederschlagsmengenunterschied zwischen der Nord- und
der Südseite der Alpen, VI^e Congres int. Bled 1960, SHMZ Beograd 1962
11. Cox M K: The distribution and variability of the cold front precipita-
tion, Bulletin of AMS Vol. 40 No-9
12. Reya O: Padavinska karta Slovenije, Zavod za met. in geod. Ljubljana 1946.